

暗黒物質の探し方

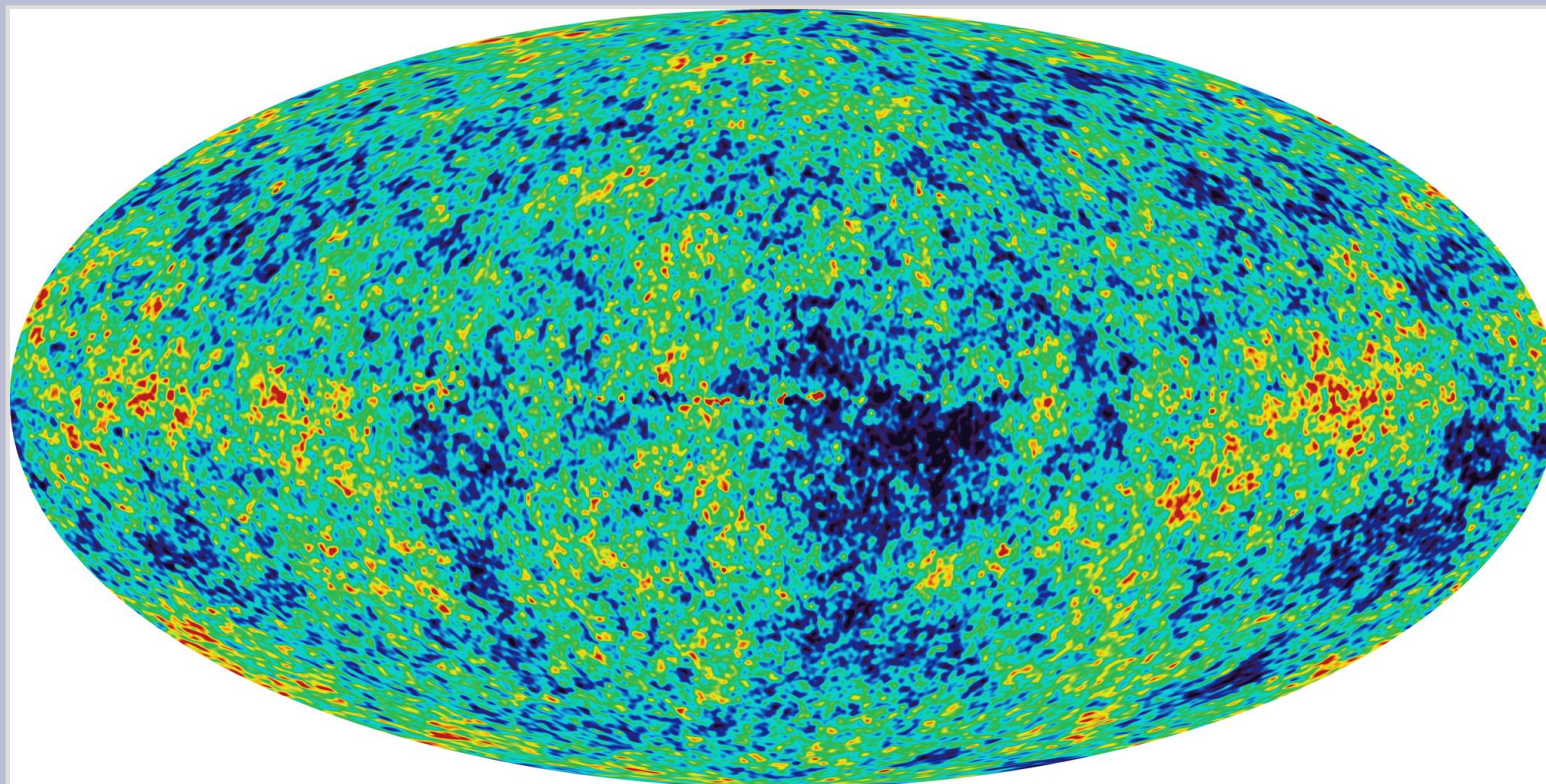
東京大学大学院理学系研究科
物理学教室

蓑輪 真

暗黒物質の“歴史”

- 1933 F. Zwicky かみのけ座銀河団の速度分散 Helv. Phys. Acta. 6 (1933) 110
Virial 定理 << 赤方偏移の光学観測 → Dark Matter の存在
- 1965 A. Penzias & R. Wilson 宇宙マイクロ波背景輻射 (CMB) の発見
電波観測の発達
- 1973 J. Ostriker & P. Peebles ApJ. 186 (1973) 467
多体系のシミュレーションによる回転銀河の安定条件
<< 我々の銀河の回転速度 220km/s → Dark Matter の存在
- 1970 年代後半 電波 (HI ガス 21cm 輝線) による銀河回転曲線の観測
→ Dark Matter の存在の立証
- 1992 COBE 宇宙マイクロ波背景輻射のゆらぎの発見
→ インフレーションモデル、 $\Omega_{\text{tot}} = 1$ を示唆
- 1998 Super Kamiokande ニュートリノ質量の発見
→ ~~HDM~~ CDM

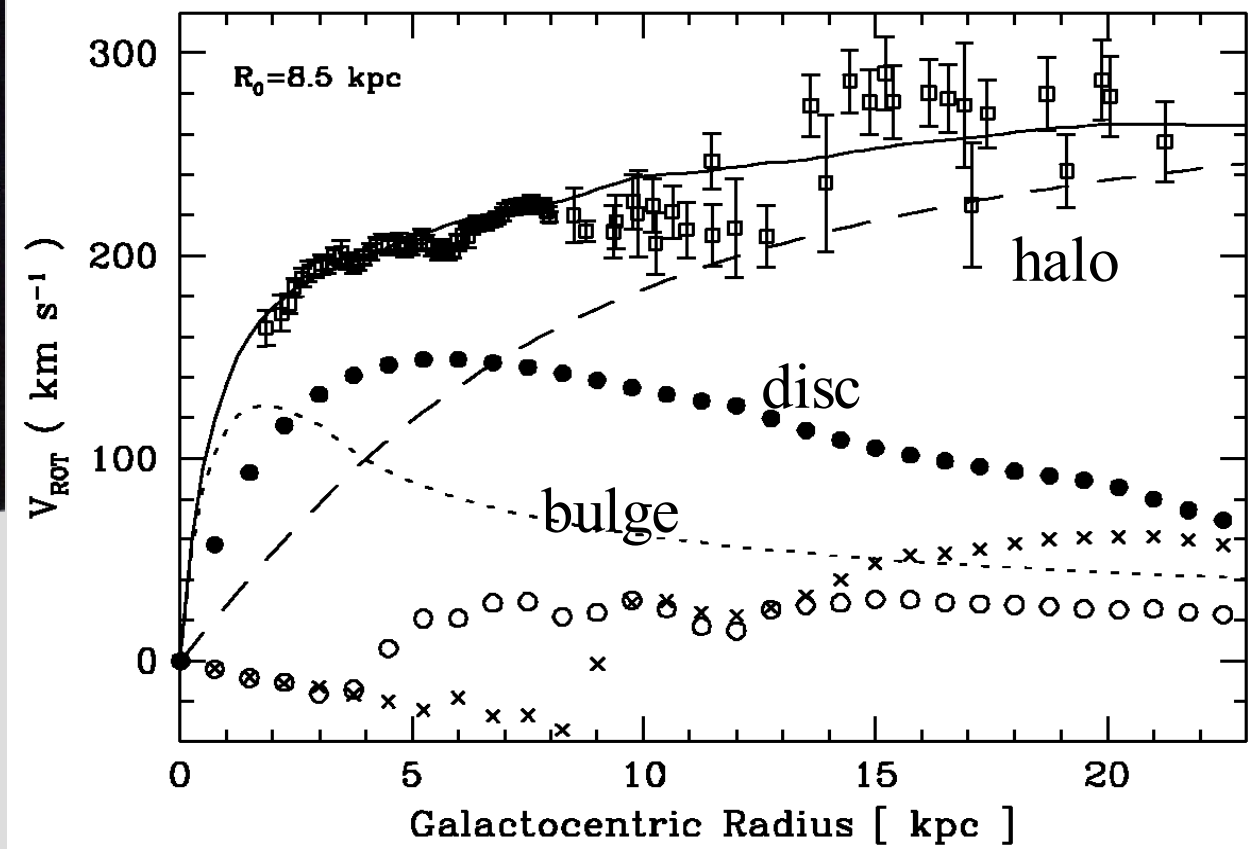
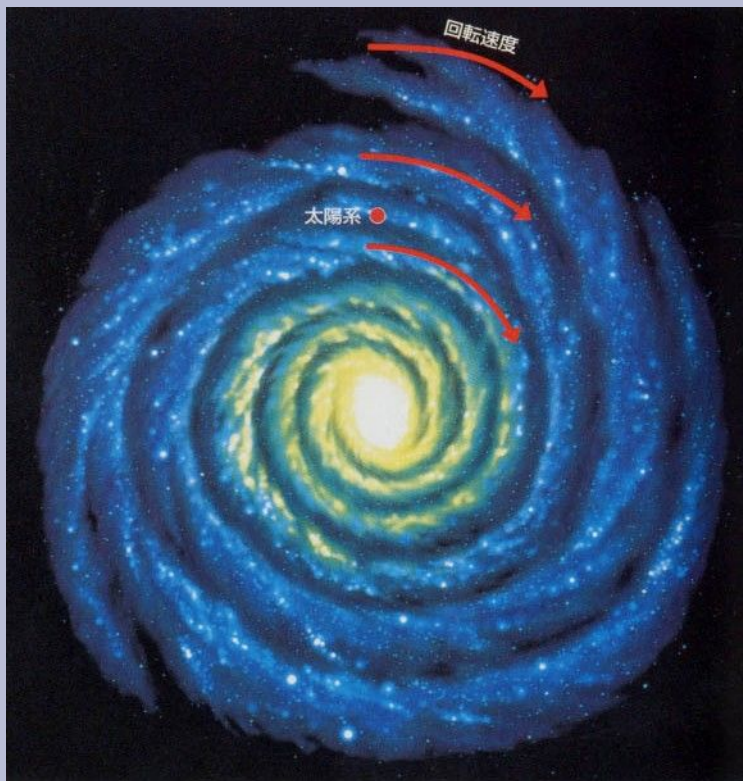
WMAP の援護射撃



Pictures: NASA/WMAP Science Team;
<http://map.gsfc.nasa.gov/>

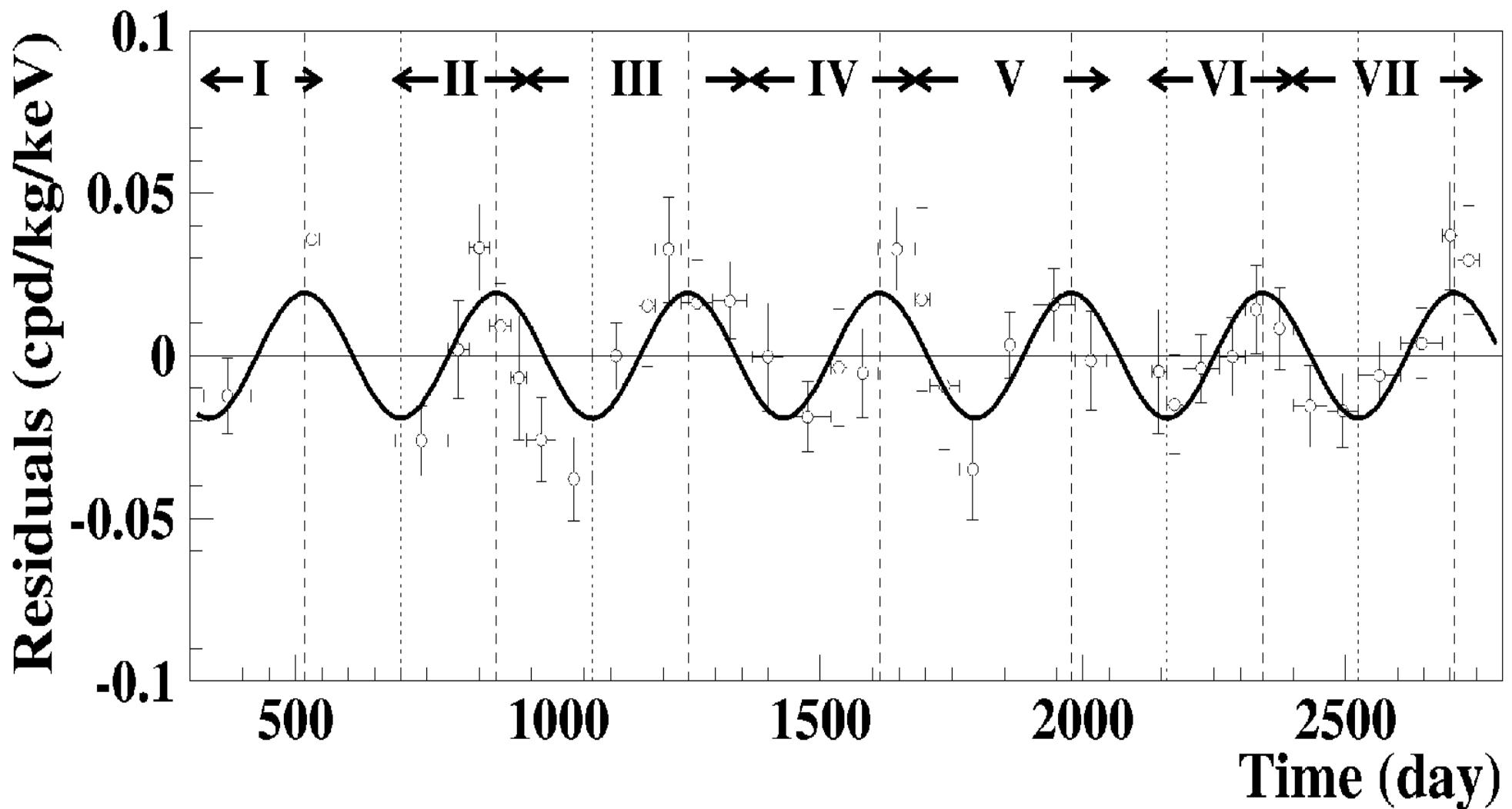


近傍にある証拠



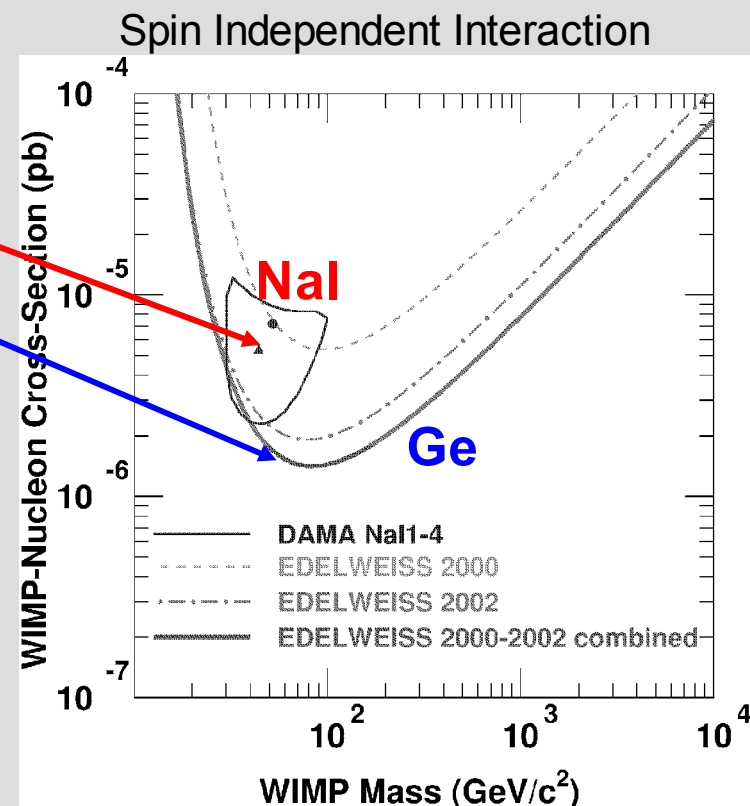
DAMA's <discovery> by annual modulation

R. Bernabei et al., Riv. Nuovo Cim. 26(2003)1.)



The story

- 1998 イタリア DAMA
“Annual Modulation を確認”
- 2000 アメリカ CDMS
- 2002 フランス EDELWEISS
“すべてのイベントを暗黒物質”
とする conventional な方法で
DAMA region を Exclude

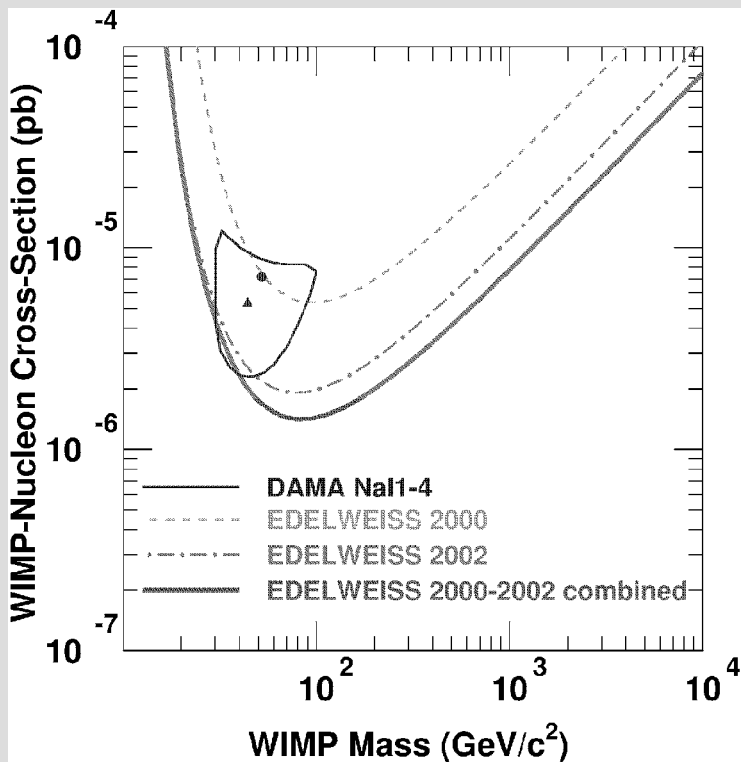


(Phys. Lett. B 545 (2002) 43)

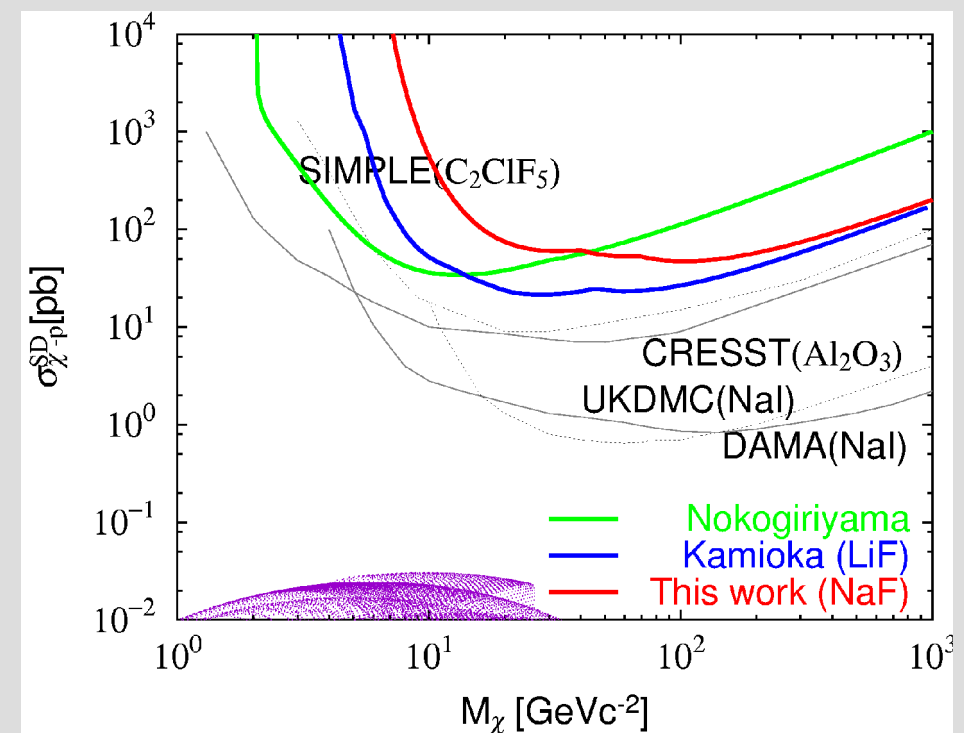
Current exclusion limits in

$\sigma_{\chi-n}^{\text{SI}}$ and $\sigma_{\chi-p}^{\text{SD}}$

SI



SD



Dark Matter Candidates

- Axion (KSVZ, DFSZ)

$$m_a \propto \frac{1}{f_{PQ}} \quad 10^{-6} \text{eV} \leq m_a \leq 10^{-2} \text{eV}$$

- Neutralino

- Lightest Supersymmetric Particle
- R-parity の保存から安定

→ 宇宙初期に生成され現在まで存在し続ける

$$\chi = a_1 \tilde{B} + a_2 \tilde{W}_3 + a_3 \tilde{H}_1 + a_4 \tilde{H}_2$$

- gauginos と higgsinos の線形結合の基底状態
- coupling SUSY モデル依存
- $39 \text{GeV} < m_\chi$

Searches, direct and indirect

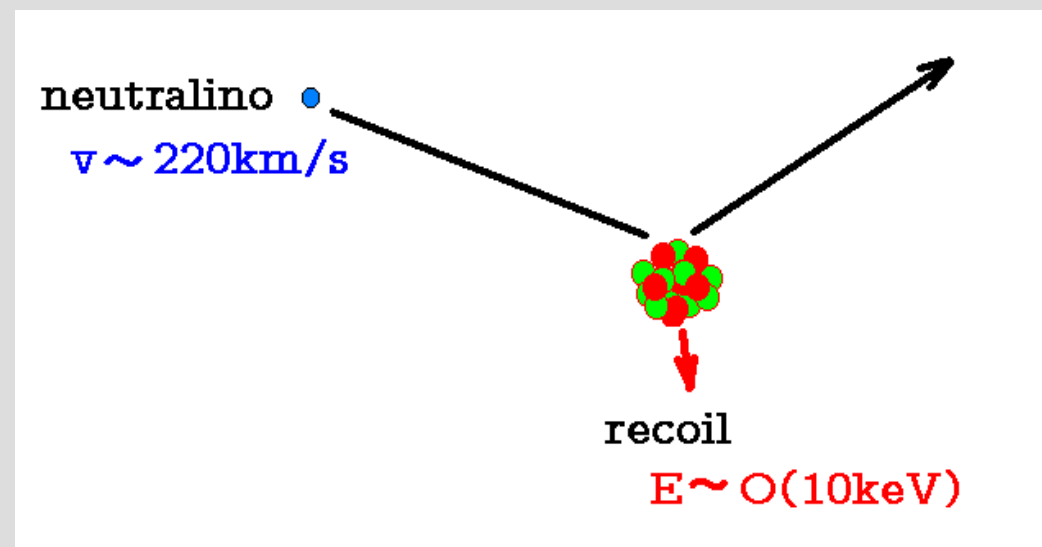
INDIRECT searches

$$\chi\chi \rightarrow WW, ZZ, \gamma\gamma \rightarrow e^-, p^-, d^-, \gamma, \nu, \dots$$

BESS, GLAST, AMS, SK, AMANDA, MACRO, . . .

DIRECT searches

Nuclear recoil detection



Direct detection, relevant parameters

- Event rate

$$R \sim \sigma_{\chi-N} \times n \langle v \rangle \propto \sigma_{\chi-N} \times \left(\frac{\rho}{M_\chi} \right) \times \int v f(v) dv$$

SUSY

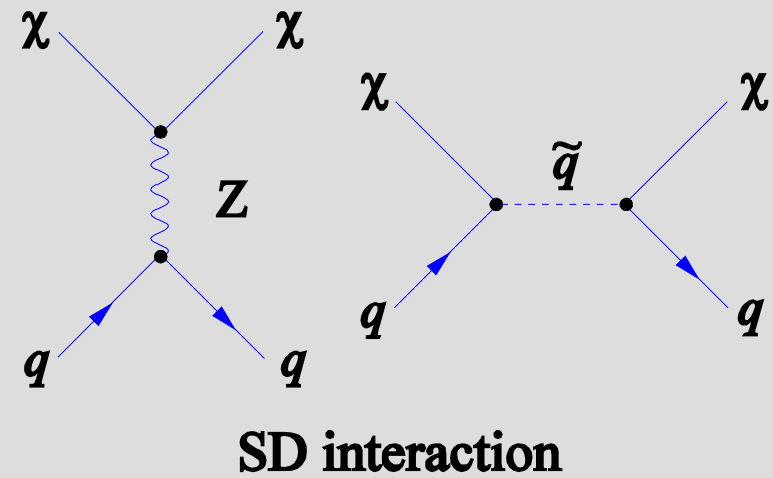
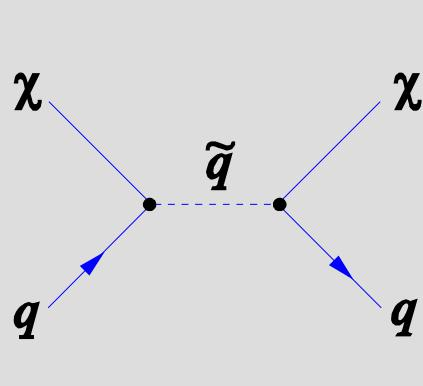
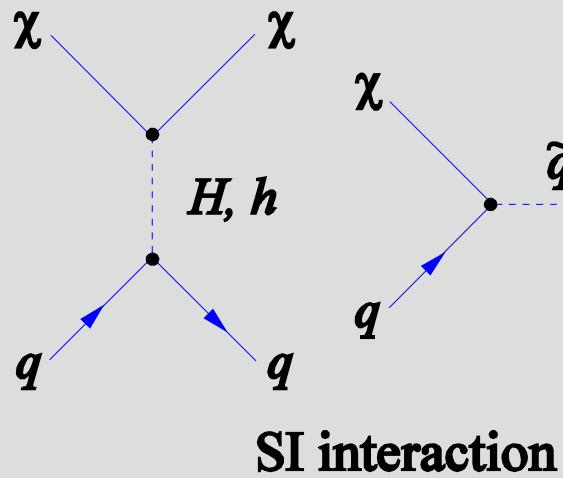
$$\rho(r) = \frac{\rho_0}{1 + r^2/r_0^2}$$

Isothermal Halo Model

$$f(\vec{v}) = \frac{1}{\pi^{3/2} v_0^3} e^{-|\vec{v}|^2/v_0^2}$$

Cross section

- $\sigma_{\chi-N}$ depends fundamentally on the χ -quark interaction strength.
 - Spin-independent (SI): H, h, squark exchange
 - Spin-dependent (SD): Z, squark exchange



Spin Independent and Spin Dependent cross sections

- Cross Section

$$\sigma_{\chi-N} = \sigma_{\chi-N}^{\text{SI}} + \sigma_{\chi-N}^{\text{SD}}$$

- SI interaction

$$\sigma_{\chi-N}^{\text{SI}} \simeq A^2 \frac{\mu_{\chi-N}^2}{\mu_{\chi-p}^2} \sigma_{\chi-n}^{\text{SI}}$$

A : atomic number
 μ : reduced mass

- SD interaction

$$\sigma_{\chi-N}^{\text{SD}} = \frac{\lambda^2 J(J+1)}{0.75} \frac{\mu_{\chi-N}^2}{\mu_{\chi-p}^2} \sigma_{\chi-p}^{\text{SD}}$$

λ : Landé factor

J : total spin of the nucleus

• SD Cross Section

- conventional approximation
using the odd-group model in which
the contribution of either proton or neutron is considered.

$$\sigma_{\chi-N}^{\text{SD}} = \frac{\lambda^2 J(J+1)}{0.75} \frac{\mu_{\chi-N}^2}{\mu_{\chi-p}^2} \sigma_{\chi-p}^{\text{SD}}$$

Isotope	unpaired	abundance	$\lambda^2 J(J+1)$
${}^7\text{Li}$	p	92.5%	0.411
${}^{19}\text{F}$	p	100%	0.647
${}^{23}\text{Na}$	p	100%	0.041
${}^{73}\text{Ge}$	n	7.8%	0.065
${}^{127}\text{I}$	p	100%	0.023

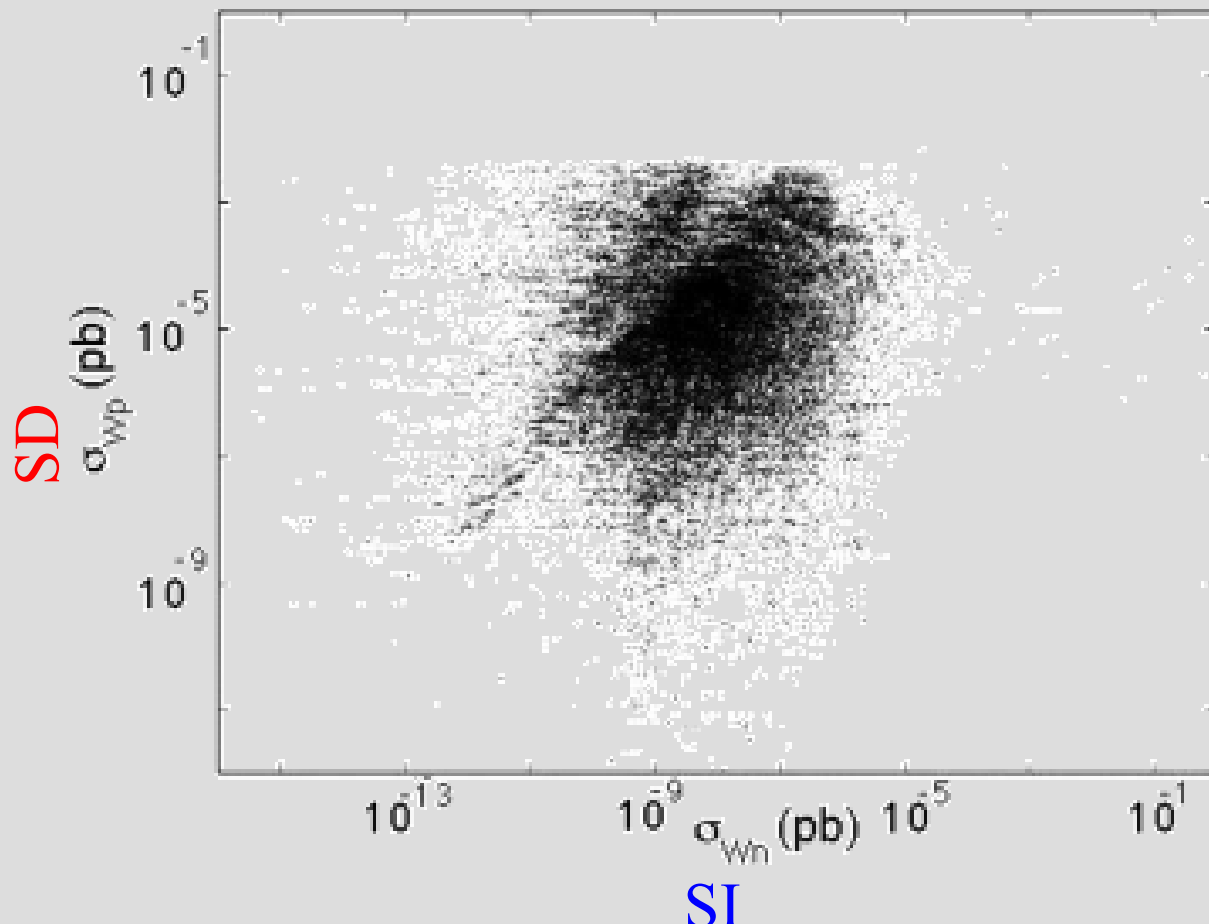
→ LiF for SD

(odd-group model)

Spin Dependent (SD)

and

Spin Independent (SI)



$$\frac{\sigma_{\chi-p}^{\text{SD}}}{\sigma_{\chi-n}^{\text{SI}}}$$

can be as large as

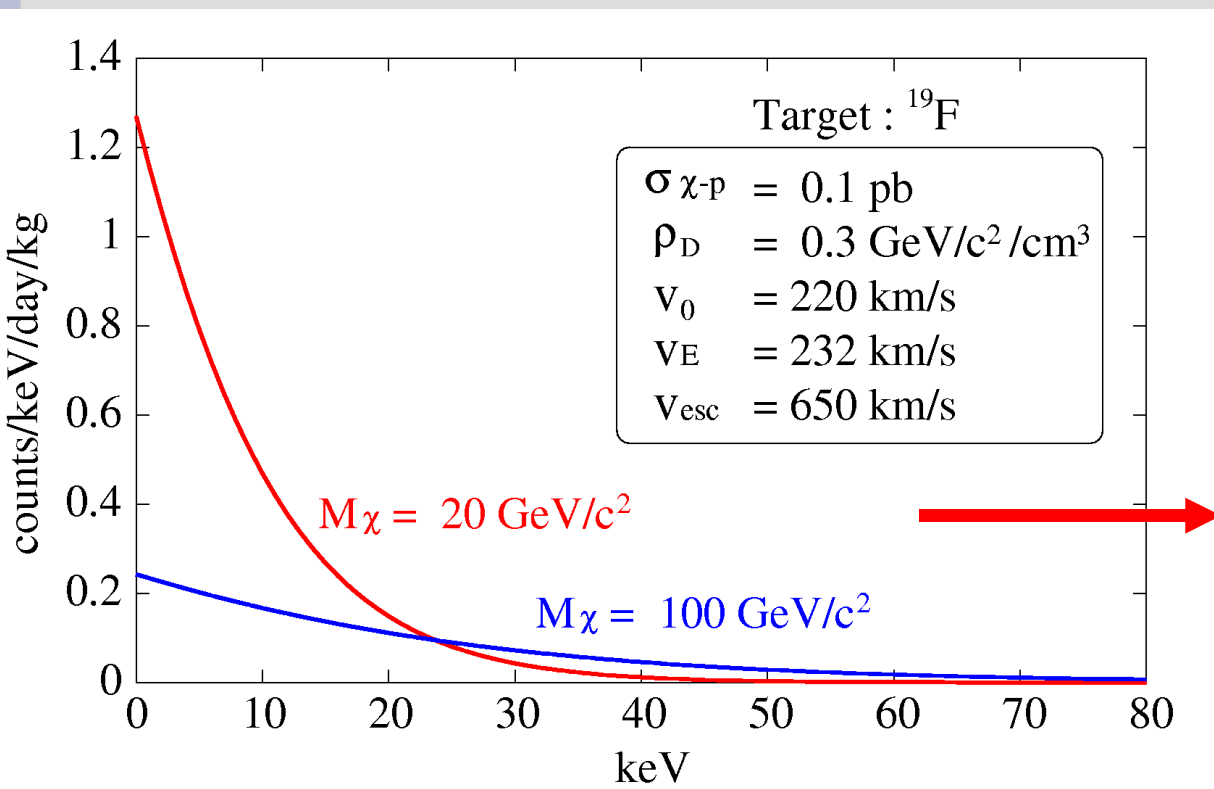
$10^3 \sim 10^4$

Fig. 10 of J. I. Collar et al, New J. of Phys. 2 (2000) 14.1

- Expected energy spectra

$$\frac{dR}{dE_R} = c_1 \frac{R_0}{E_0 r} e^{-c_2 E_R / E_0 r} \quad [\text{count/keV/kg/day}]$$

$$R_0 = \frac{361}{M_\chi M_N} \left(\frac{\sigma_{\chi-N}}{1 \text{ pb}} \right) \left(\frac{\rho_D}{0.3 \text{ GeV cm}^{-3}} \right) \left(\frac{v_0}{230 \text{ km/s}} \right) \quad [\text{count/kg/day}]$$



R : countrate

E_R : recoil energy

c_1, c_2 : const

E_0 : kinetic energy of DM

v_0 : DM velocity

M_χ : DM mass

M_N : target mass

$$r = \frac{4 M_\chi M_N}{(M_\chi + M_N)^2}$$

ρ_D : DM density

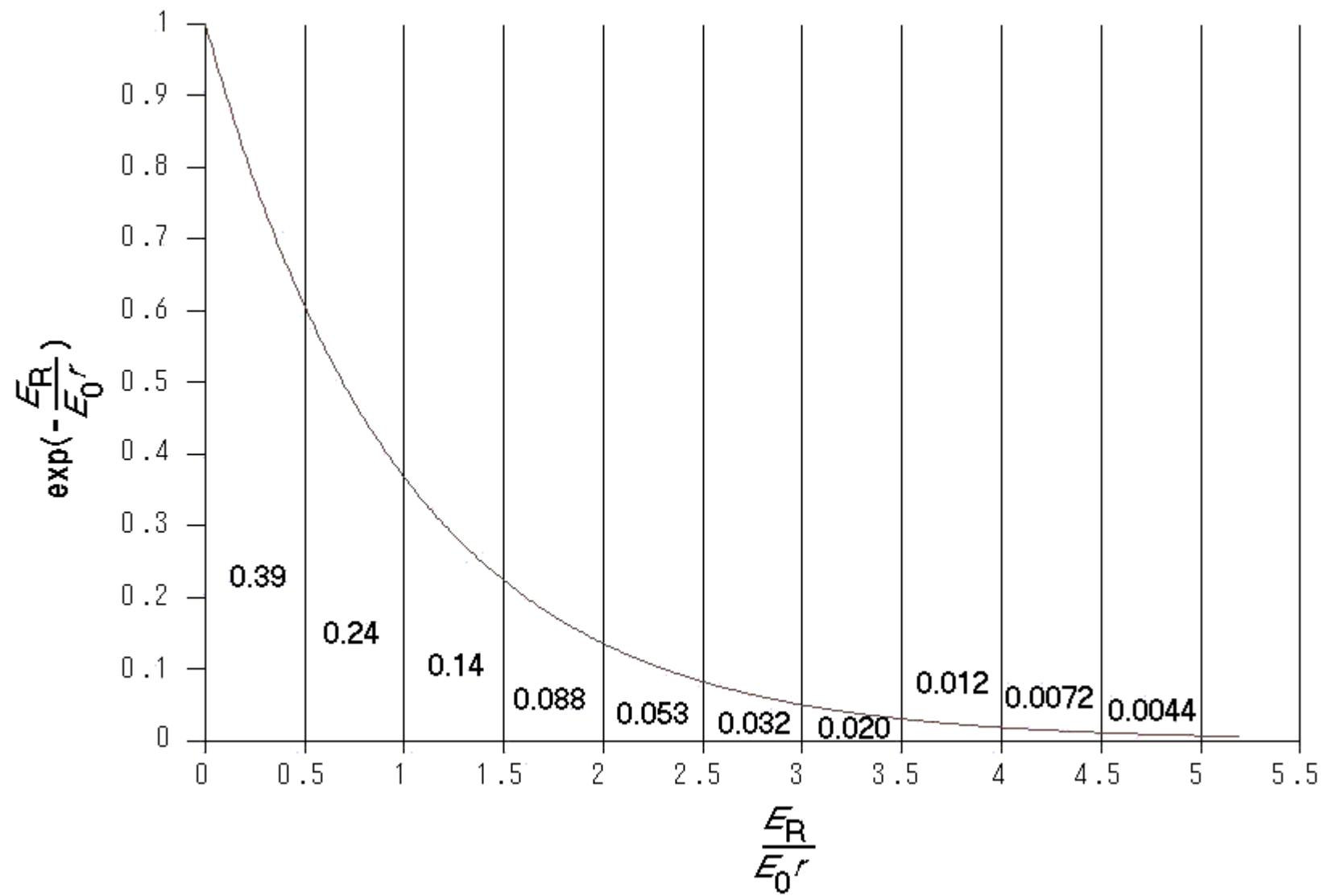
low threshold and
low BG are required

$$E_0 = \frac{1}{2} M_x v_0^2$$

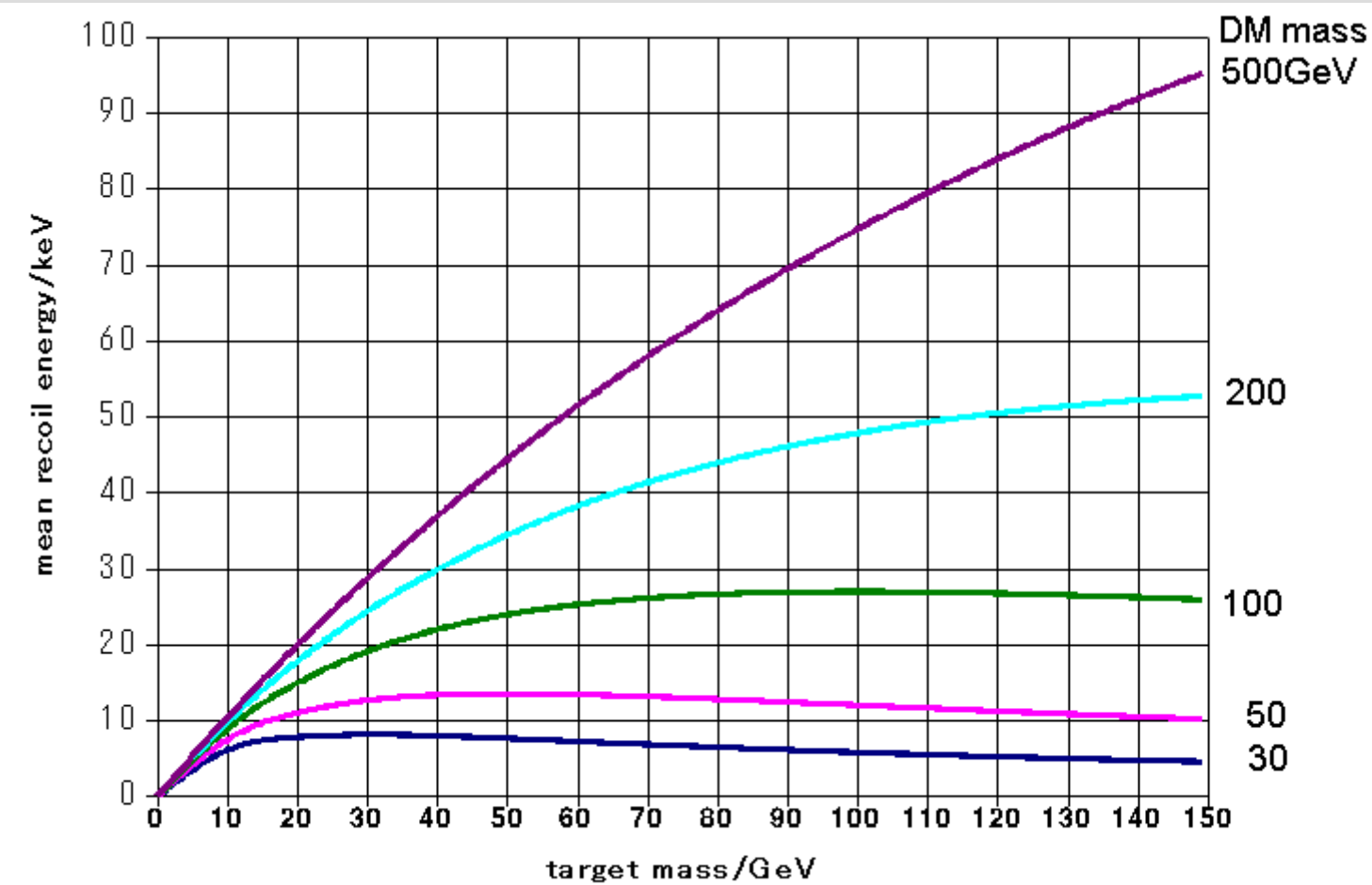
$$r = \frac{(4 M M_N)}{(M + M_N)^2}$$

$$E_0 r = 10 \text{ keV}$$

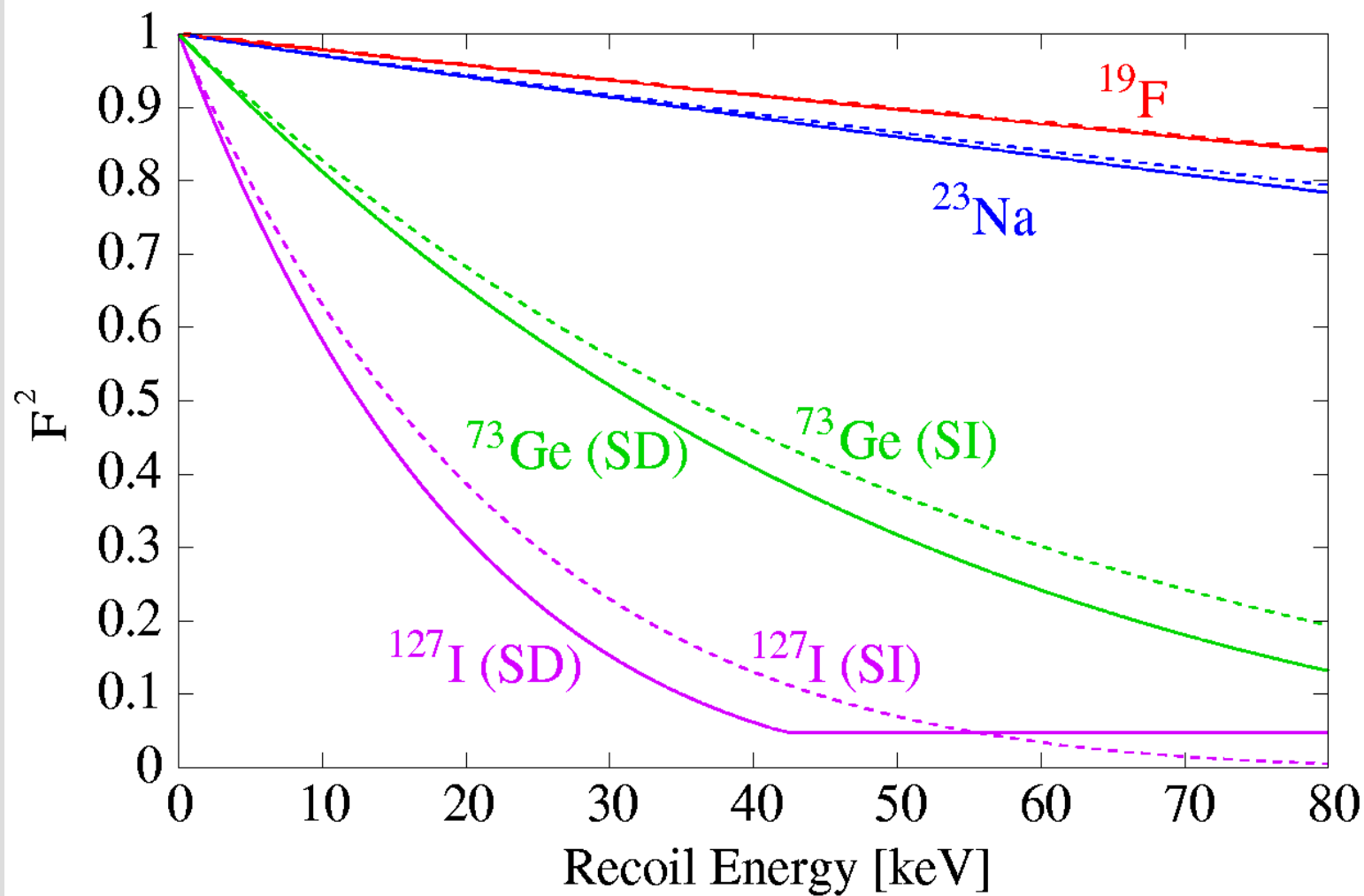
for $M=50\text{GeV}$ and $A=19$



Mean recoil energy $E_o r$ vs target mass



Nuclear form factor



Running experiments and projects (not complete)

Bolometers

- CDMS(Ge/Si)
- Tokyo(LiF/NaF)
- CRESST(Al₂O₃)

Scintillators/semiconductors

- DAMA(NaI, CaF₂, LXe)
- UK(NaI)
- HDMS(Ge), GENIUS(Ge)
- Osaka(CaF₂)
- XMASS(LXe)

Quenching factor

$$q = \frac{E_{\text{visible}}}{E_{\text{R}}}$$

- $q < 1$ for **scintillators** and **semiconductors**

0.3 (Na), 0.09 (I)

0.25 (Ge)

0.46 (LXe)

→ low effective threshold

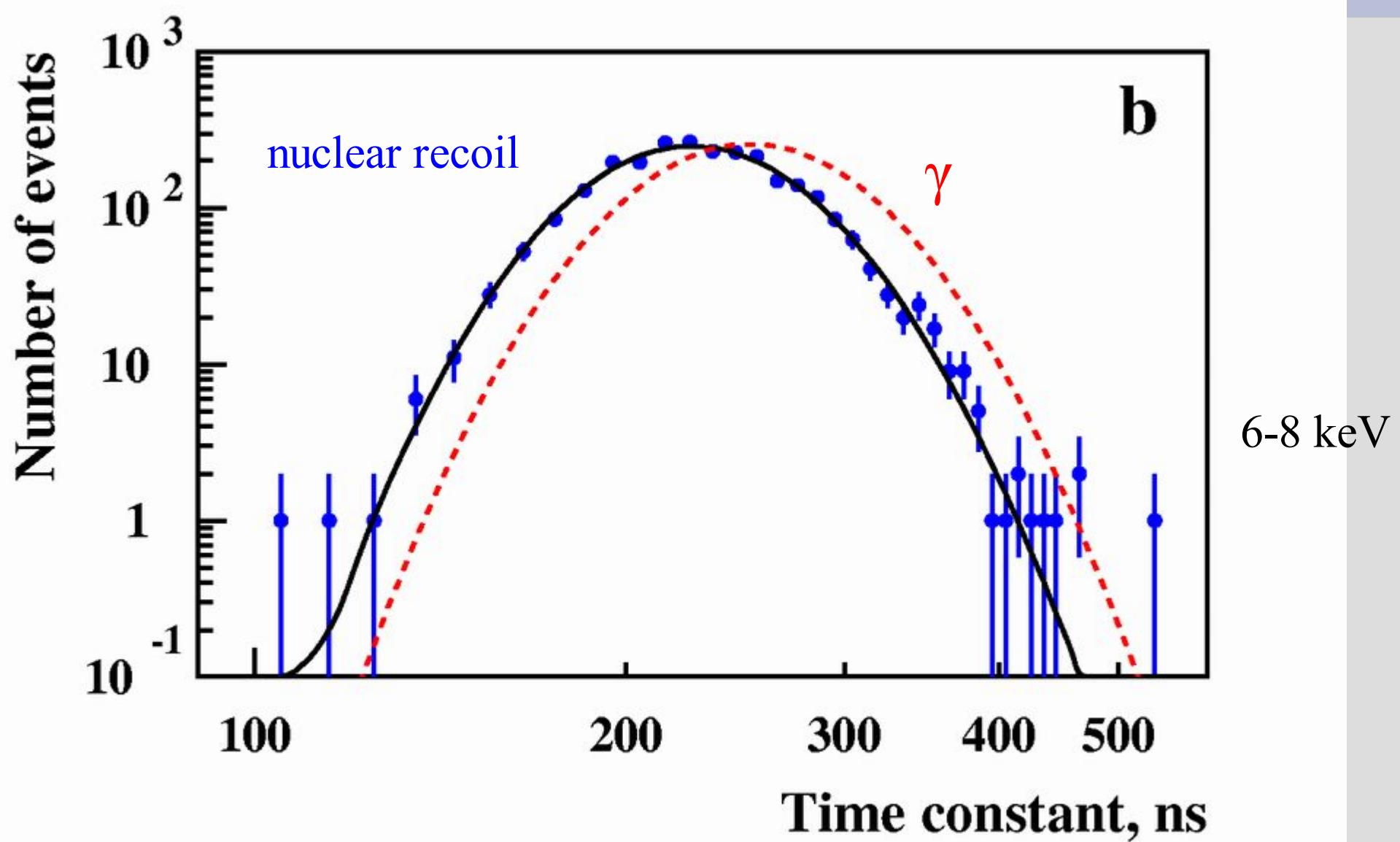
- $q = 1$ for **bolometers**

Techniques for DM detection

- Pulse shape discrimination/analysis
PSD/PSA (e/γ - nuclear recoil separation)
- Bolometry ($q = 1$)
- Phonon-ionization simultaneous
measurement
(e/γ - nuclear recoil separation)
- Annual modulation
- Direction sensitive detection
- Background shields

PSD/PSA (NaI(Tl))

B. Ahmed, et al., Astropart. Phys. 19 (2003) 691.

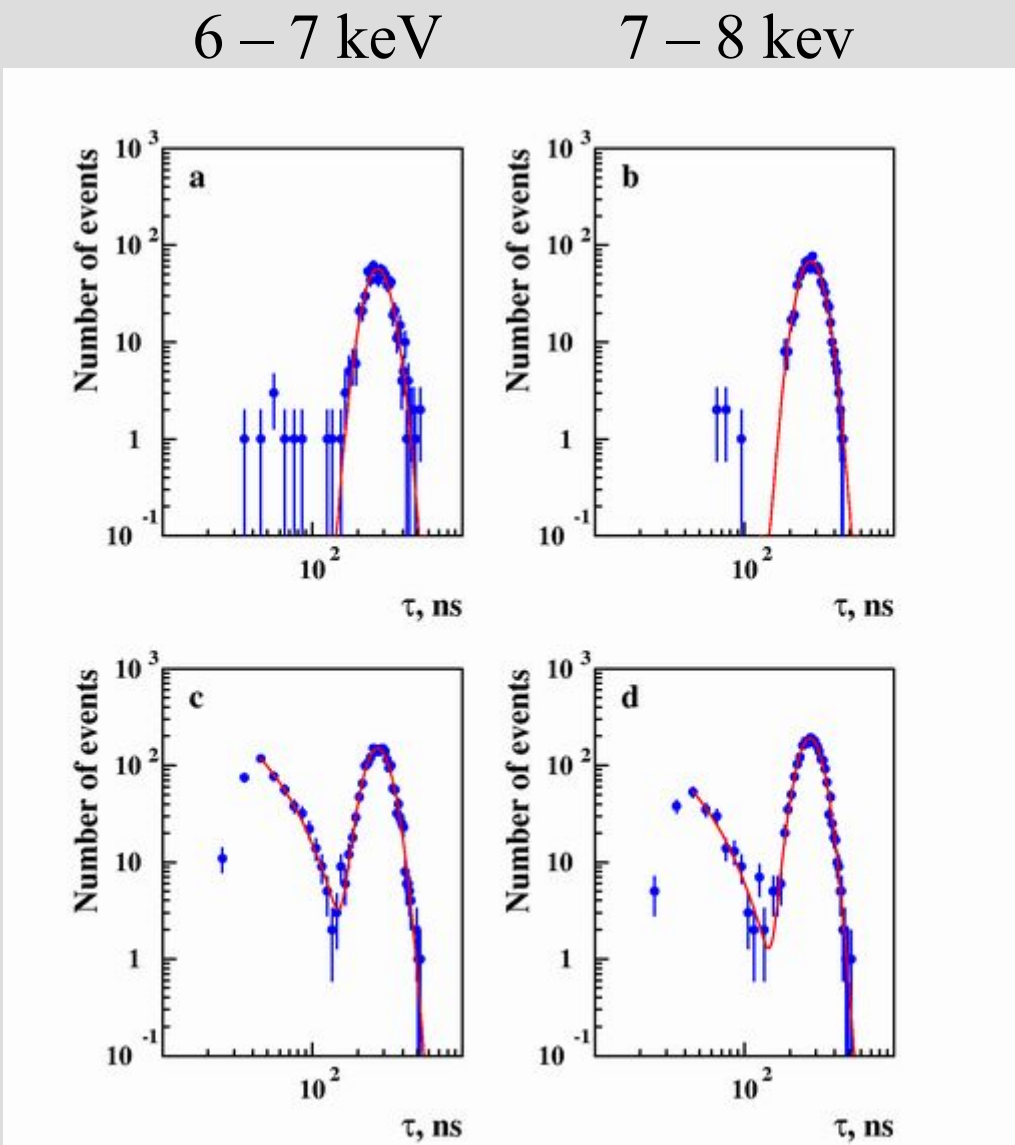


Statistical subtraction

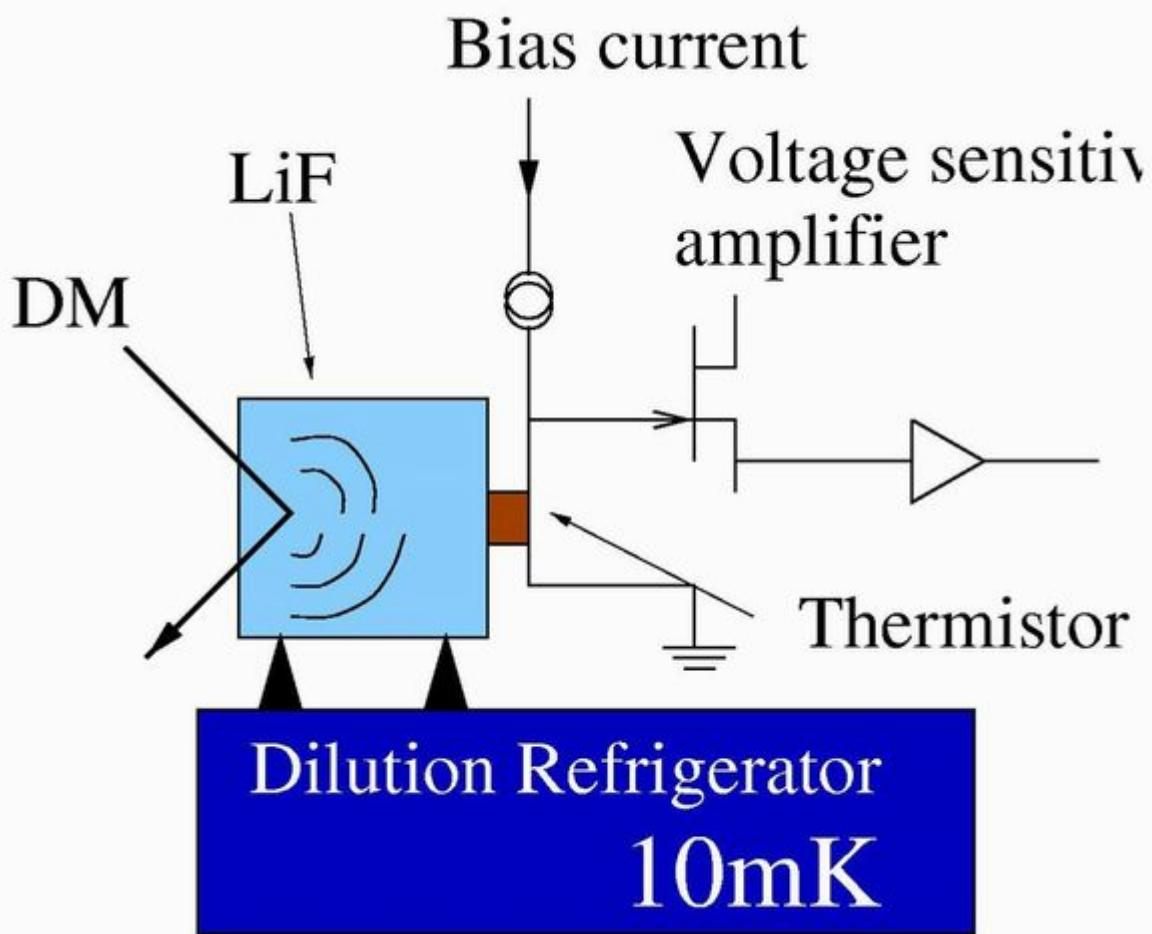
B. Ahmed, et al., Astropart. Phys. 19 (2003) 691.

γ -calibration

real data



Bolometer

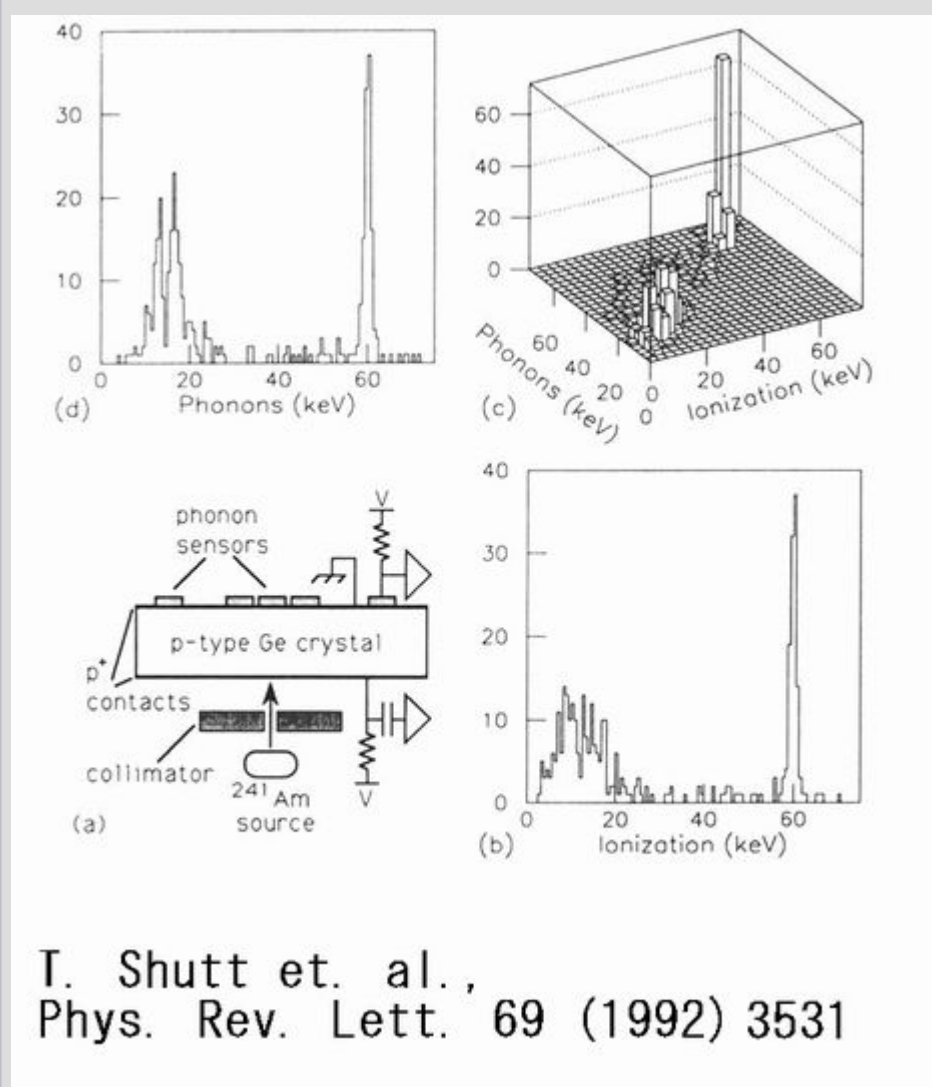


Specific heat:

$$C \propto \left(\frac{T}{\Theta_D} \right)^3$$

Θ_D : Debye temperature

Phonon – ionization simultaneous measurement



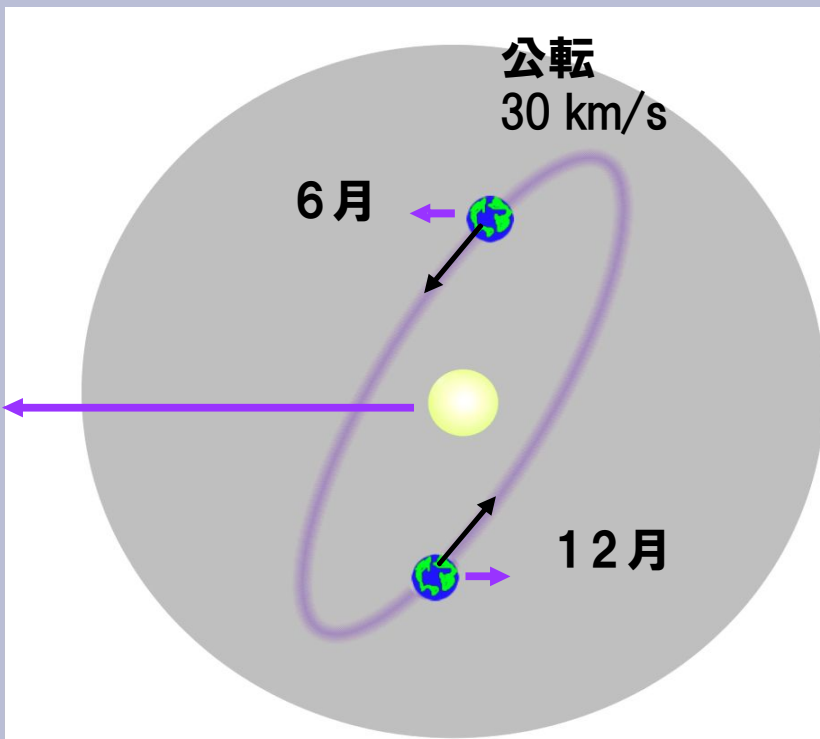
Same response to e/γ

but

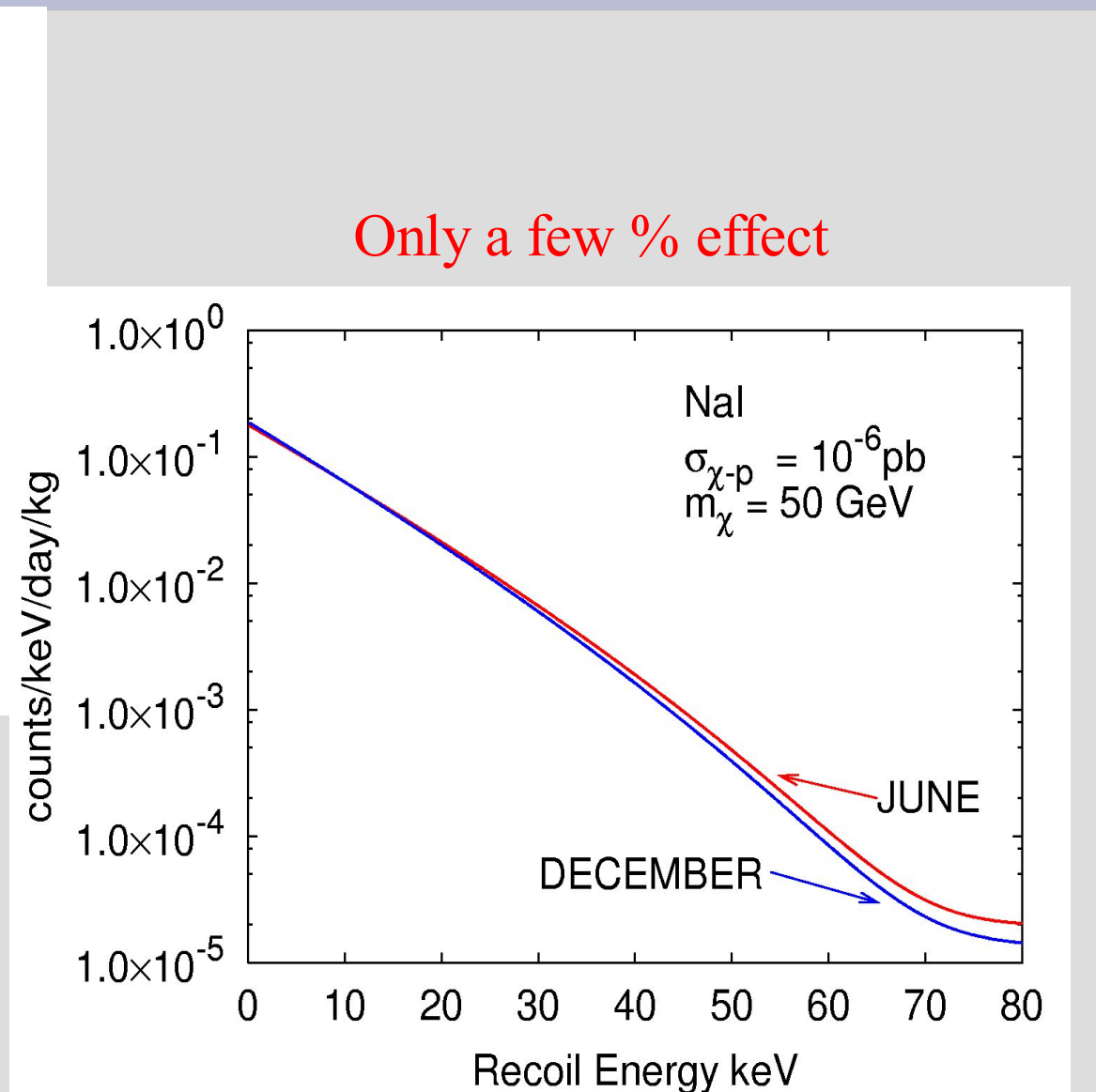
to nuclear recoil,
 $q = 1$ for phonon
 $q = 0.25$ for ionization

**e/γ - nuclear recoil
separation**

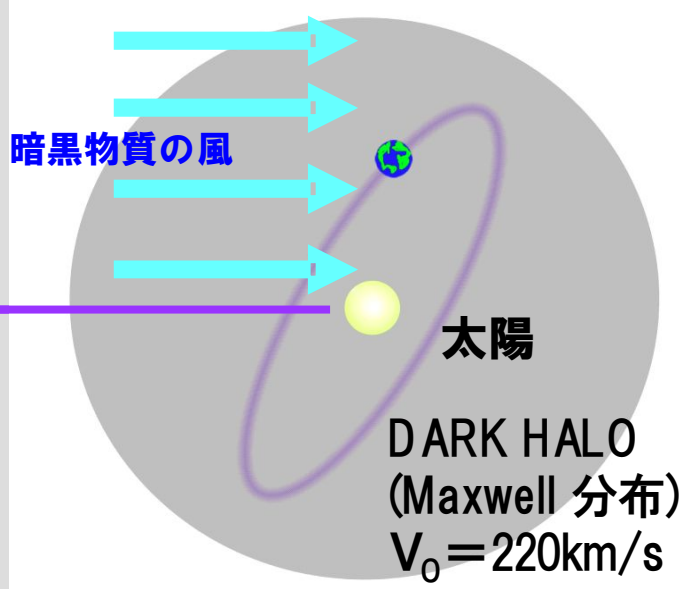
Annual modulation



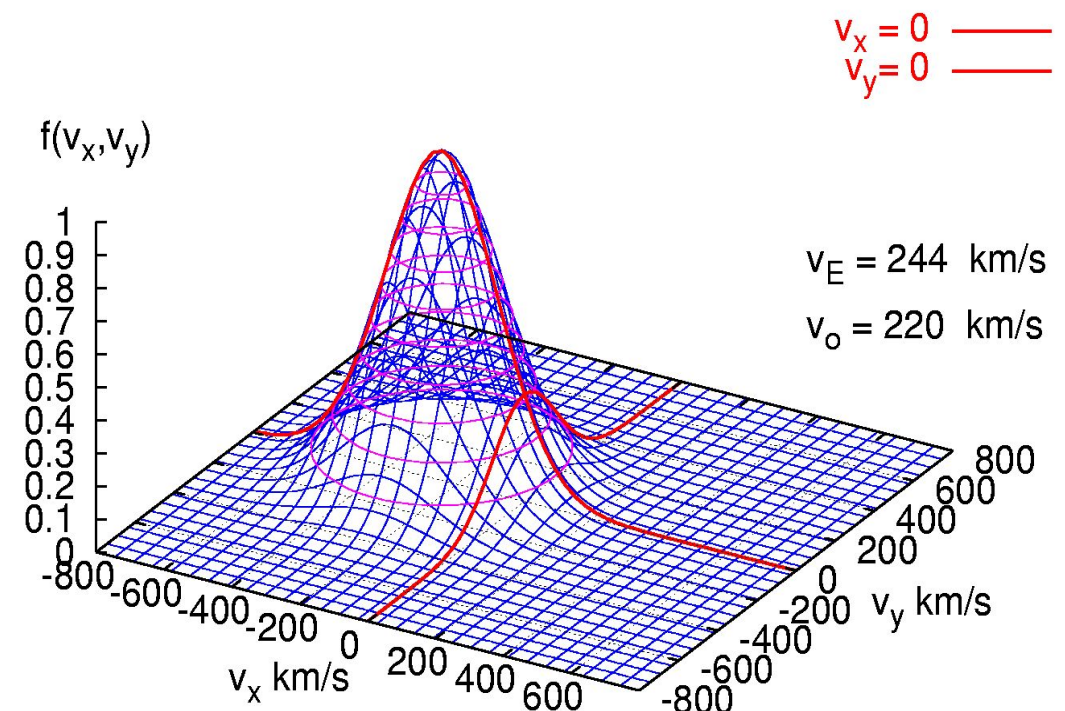
$$\vec{v}_E = \vec{v}_{\text{SUN}} + \vec{v}_{\text{ES}}$$

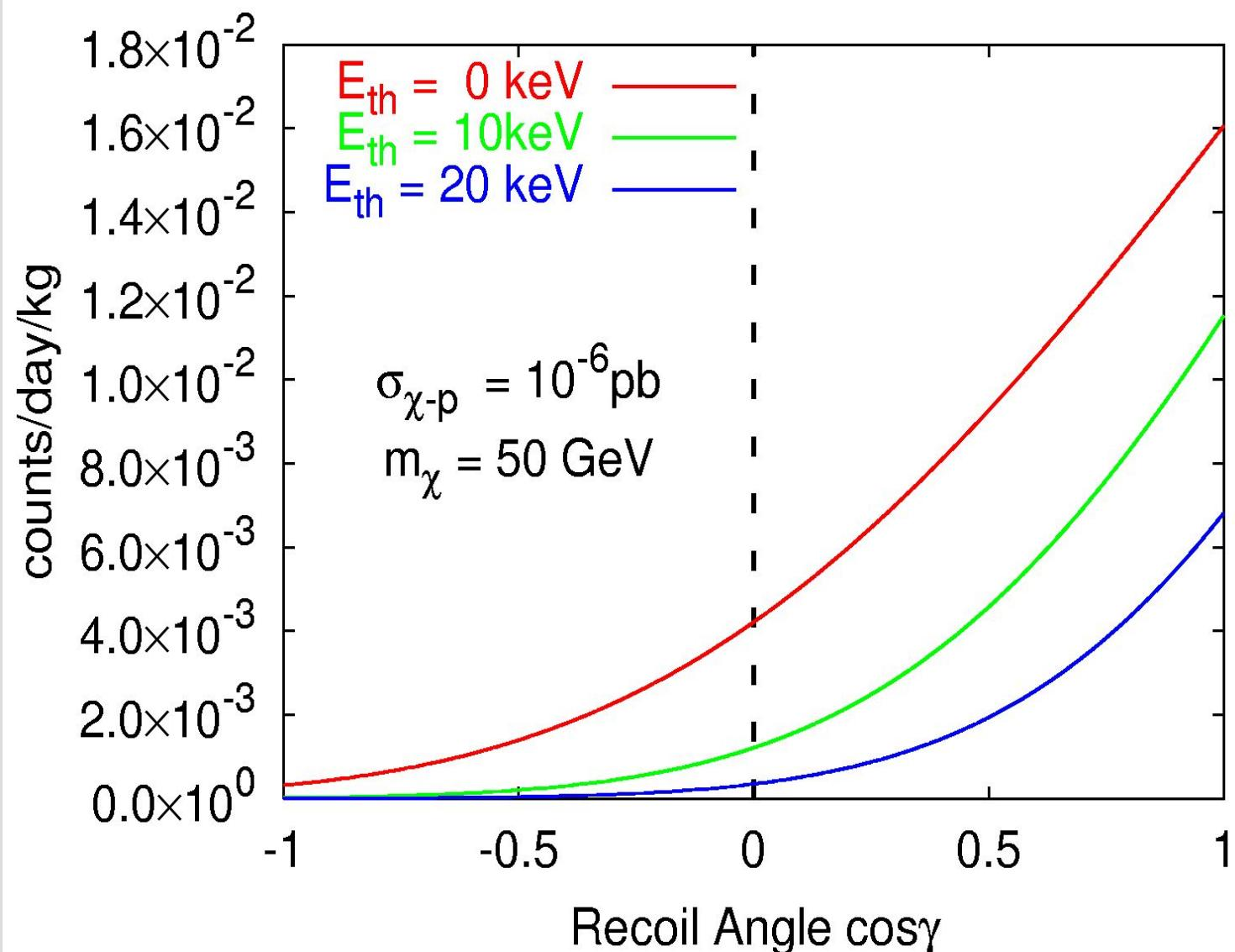
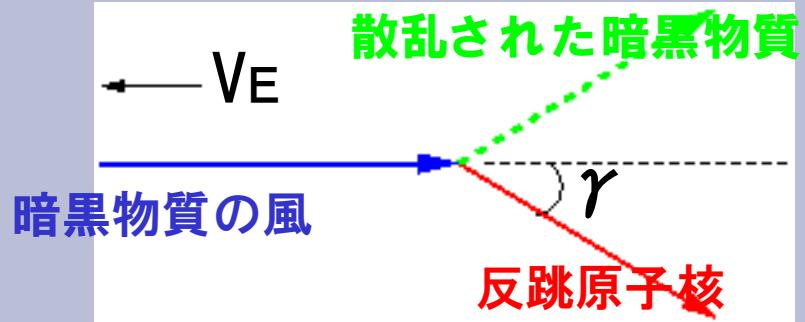


Direction sensitive detection



Strong DM wind





Background shields

- Oxygen Free High Conductivity Copper (OFHC)
- Old-age(archaeological) lead
- Pure water
- Active self shielding
- Radon purge

$$T_{1/2}({}^{210}\text{Pb}) \sim 20 \text{ years}$$



fiducial volume

Tokyo Group (Minowa)

- Bolometer experiments (**SD-sensitive**)
 - Pilot run LiF Nokogiriyama(~15m.w.e.) ~1999
 - Results LiF/NaF Kamioka(~2700m.w.e.) ~2003
- R&D, direction sensitive scintillators 2003~
 - Pilot run stilbene Kamioka

Bolombeter SD limits in a_p and a_n

$$\sigma_{\chi-N}^{SD} = \frac{\lambda^2 J(J+1)}{0.75} \frac{\mu_{\chi-N}^2}{\mu_{\chi-p}^2} \sigma_{\chi-p}^{SD} = 4 G_F^2 \mu_{\chi-N}^2 C_N^{SD}$$

$$C_N^{SD} \propto (a_p \langle S_{p(N)} \rangle + a_n \langle S_{n(N)} \rangle)^2 \frac{J+1}{J}$$

a_p, a_n : χ - nucleon couplings

$\langle S_{p(N)} \rangle, \langle S_{n(N)} \rangle$: expectation values of p, n spin in N

$\langle S_{p(N)} \rangle$ and $\langle S_{n(N)} \rangle$

For a_p, a_n determination,

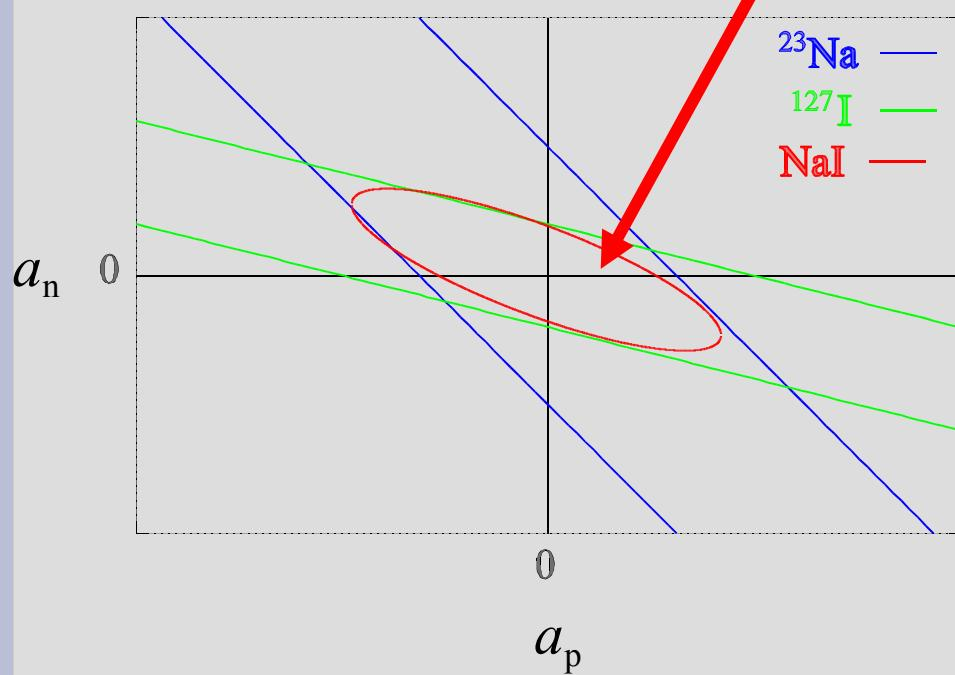
Isotope	odd	$\langle S_{p(N)} \rangle$	$\langle S_{n(N)} \rangle$
^7Li	p	0.497	0.004
^{19}F	p	0.441	-0.109
^{23}Na	p	0.248	0.020
^{73}Ge	n	0.009	0.372
^{127}I	p	0.309	0.075

- ▶ ^{19}F is complementary to $^{23}\text{Na}, ^{73}\text{Ge}, ^{127}\text{I}$ due to **opposite sign** of $\langle S_{p(N)} \rangle / \langle S_{n(N)} \rangle$
- ▶ **NaF** is more sensitive to a_n than **LiF**.

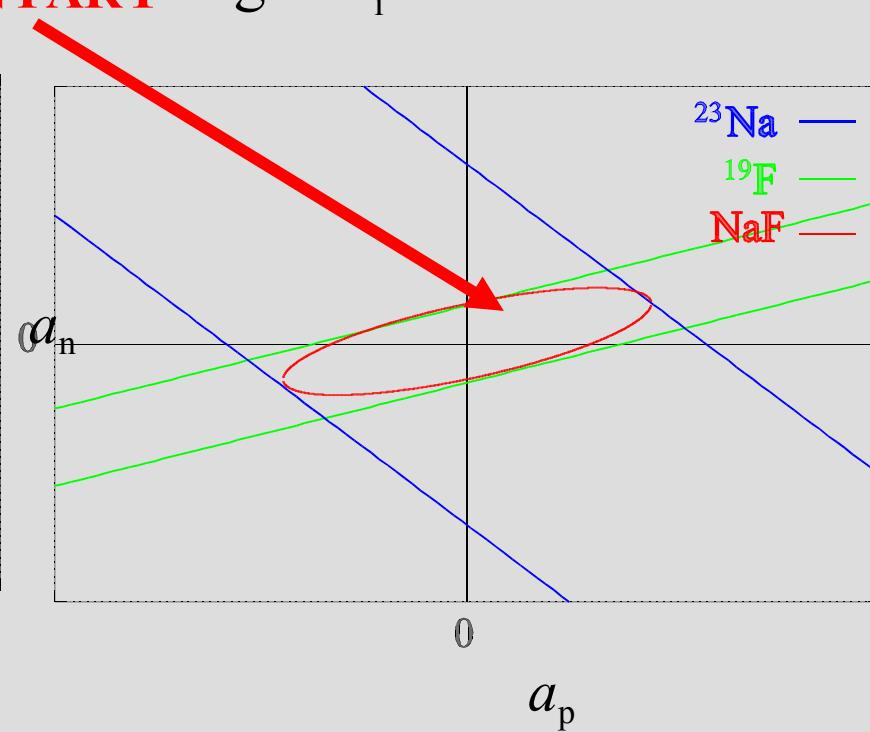
SD limits in a_p and a_n

► $\langle S_{p(N)} \rangle / \langle S_{n(N)} \rangle > 0$

e.g. $N_i = {}^{23}\text{Na}, {}^{127}\text{I}$ **COMPLEMENTARY** e.g. $N_i = {}^{19}\text{F}$



► $\langle S_{p(N)} \rangle / \langle S_{n(N)} \rangle < 0$

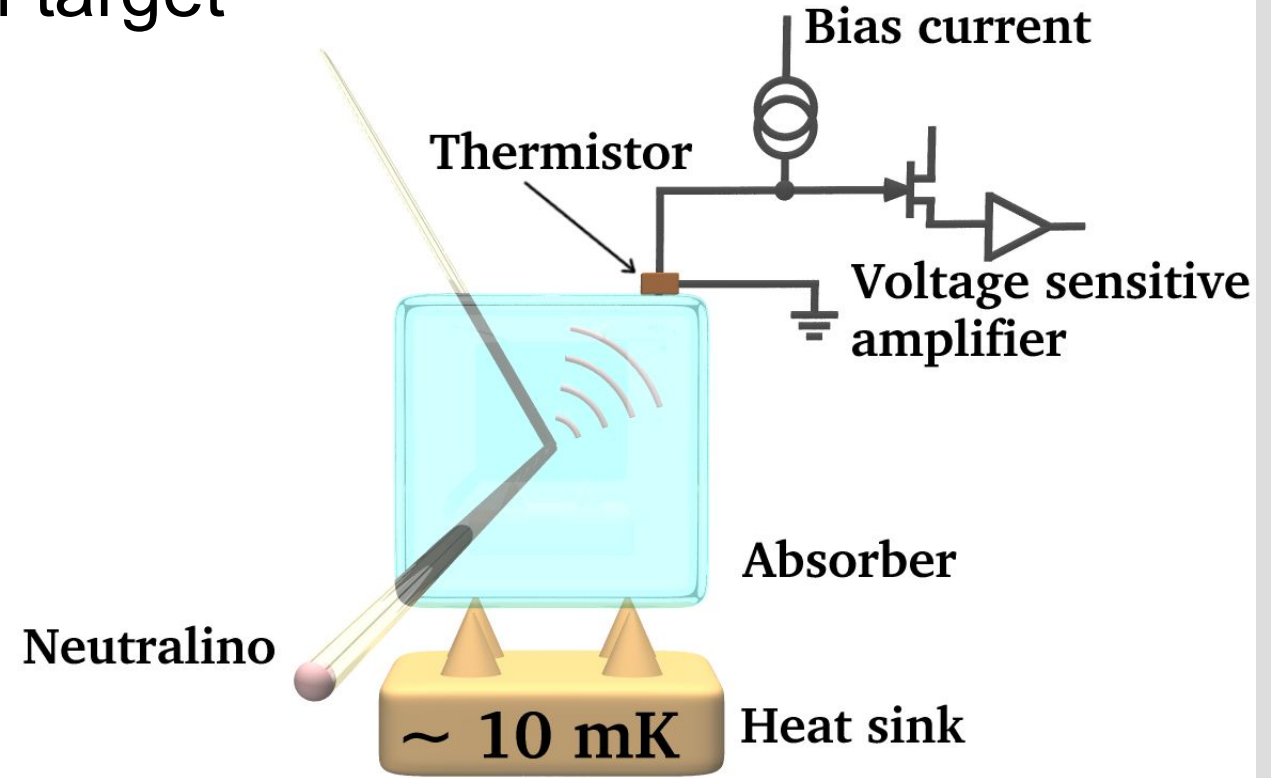


Detector

■ Bolometer

- Wide choice of target
- High resolution
- Low threshold
- No quenching

$$(E_{\text{visible}} = E_{\text{recoil}})$$

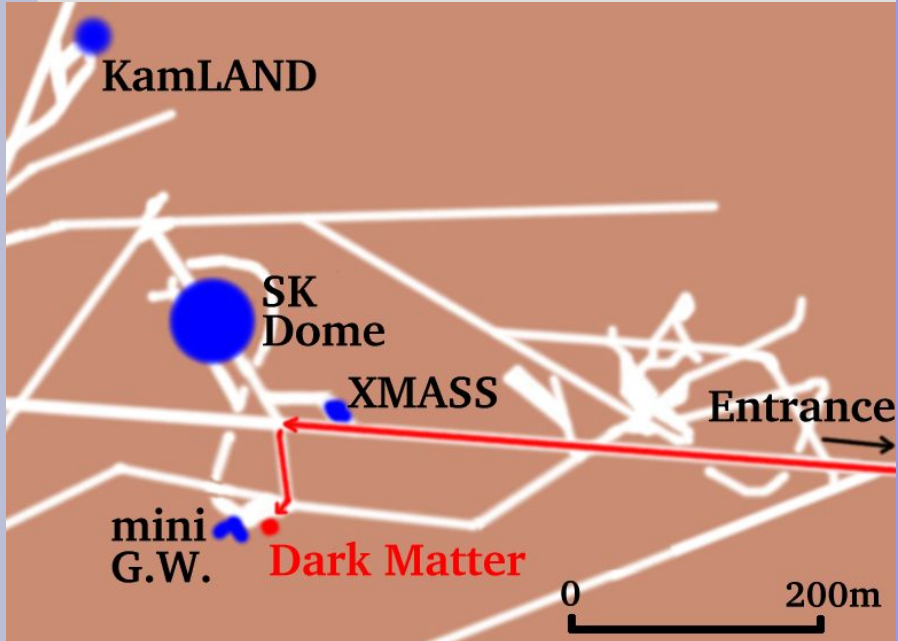


■ NTD Ge thermistor

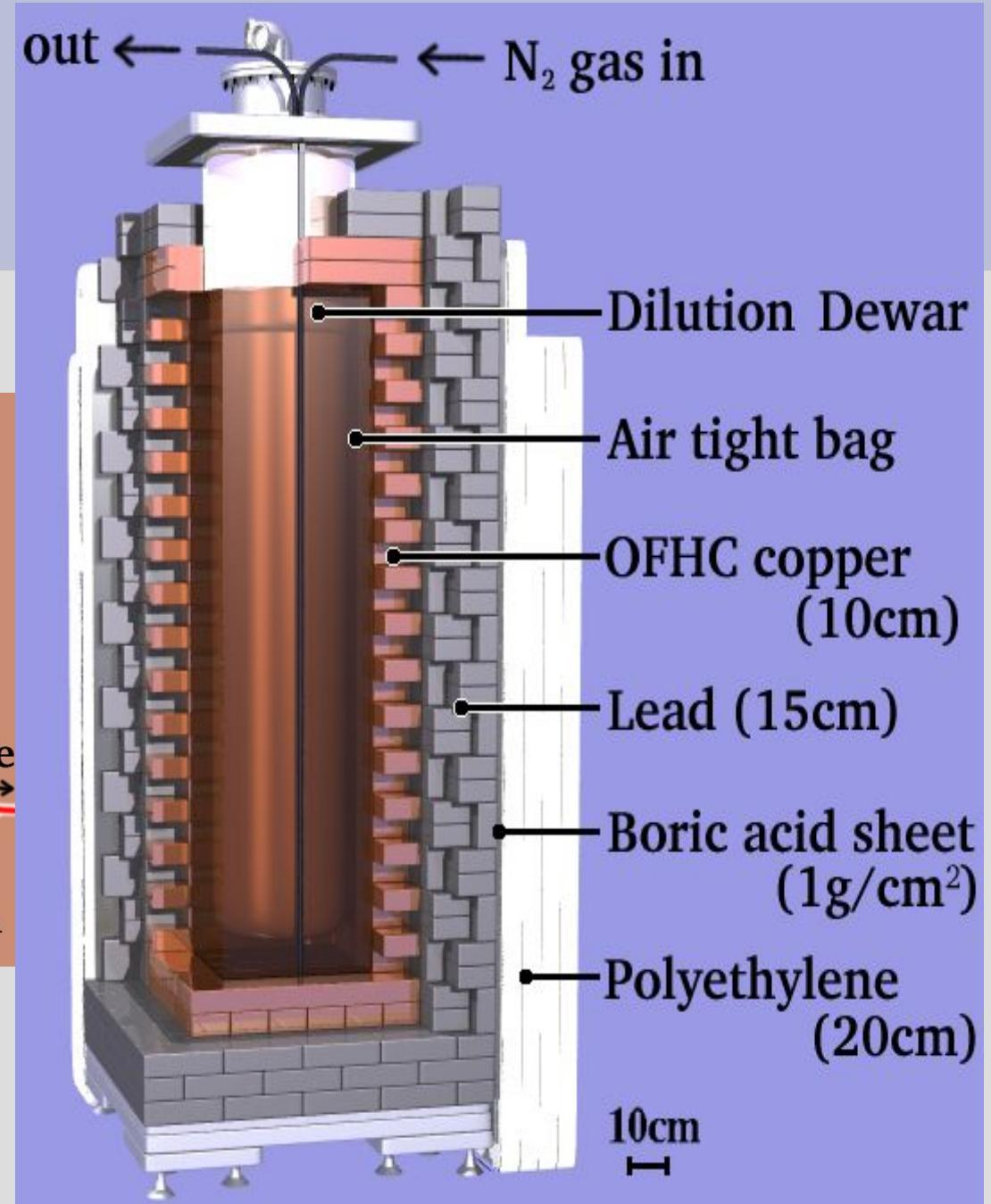
- Neutron Transmutation
Doped Germanium

Schematic drawing of a bolometer

- Set Up
 - Outer Shields



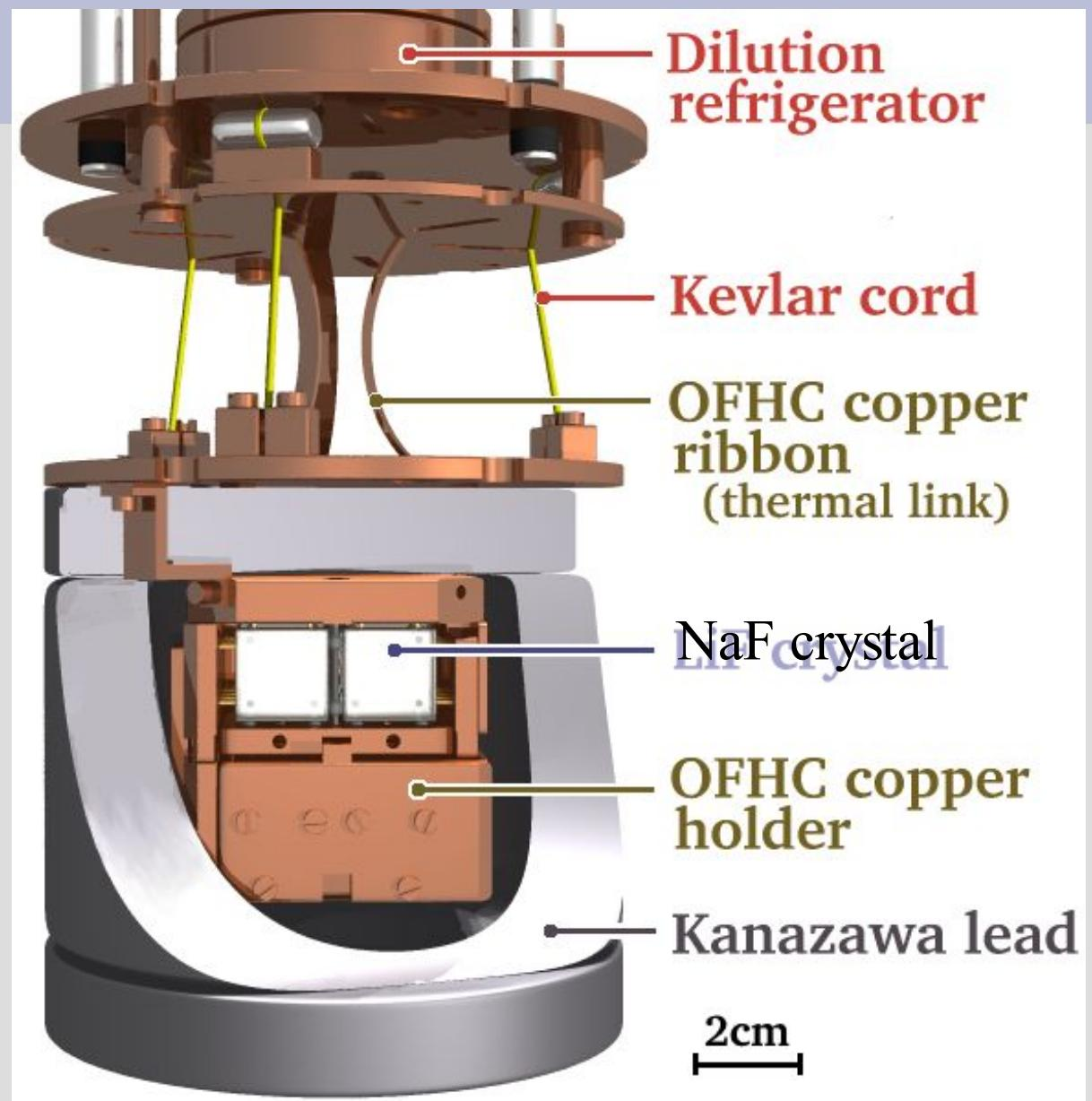
► set at **Kamioka Observatory**
(~2700m.w.e.)



- Inner Shield
- old lead (>400yrs.) from a wrecked ship.

$^{21}\text{Pb} < 2.0 \text{ Bq/kg}$
0
suspending it
with kevlar cords.

→ vibration noise reduction

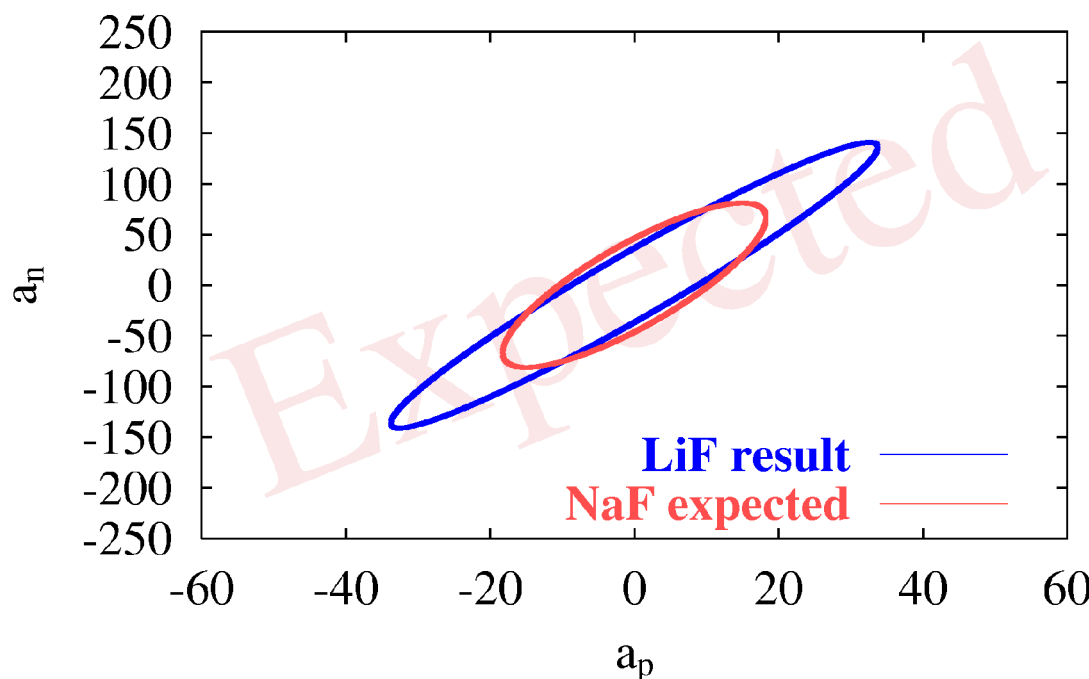


- NaF Bolometer Array

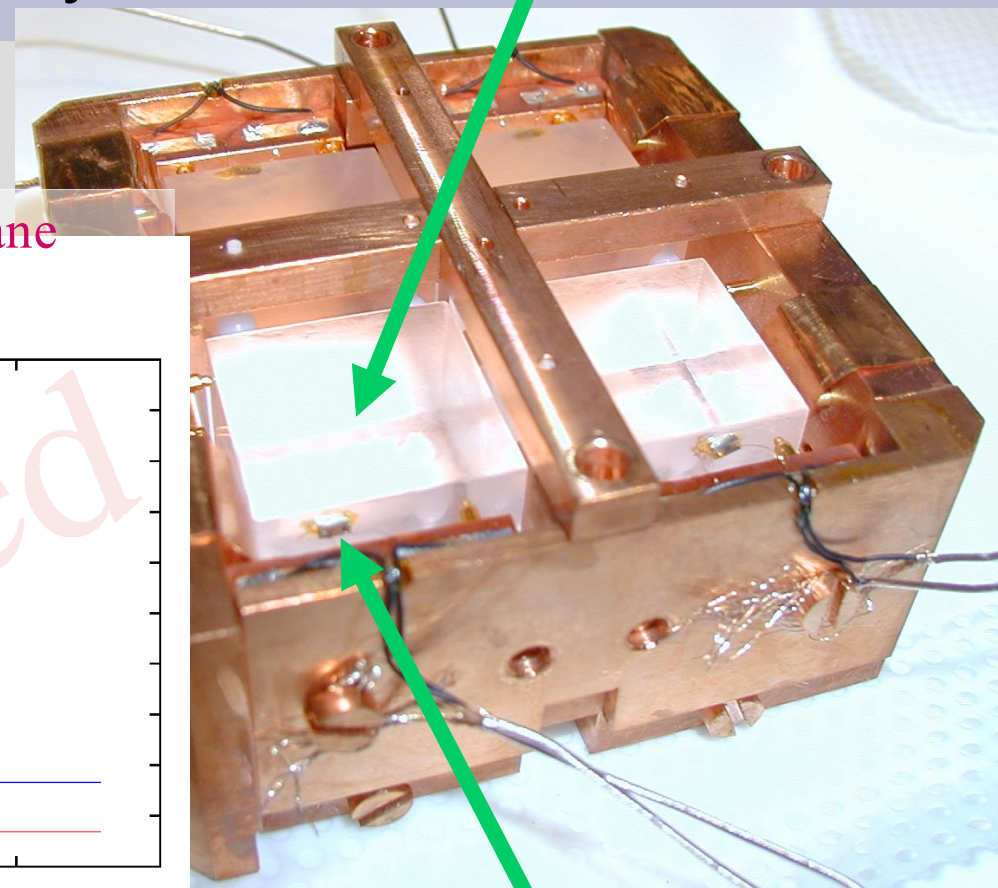
- 8pcs×22g NaF crystals

($2 \times 2 \times 2 \text{ cm}^3$)

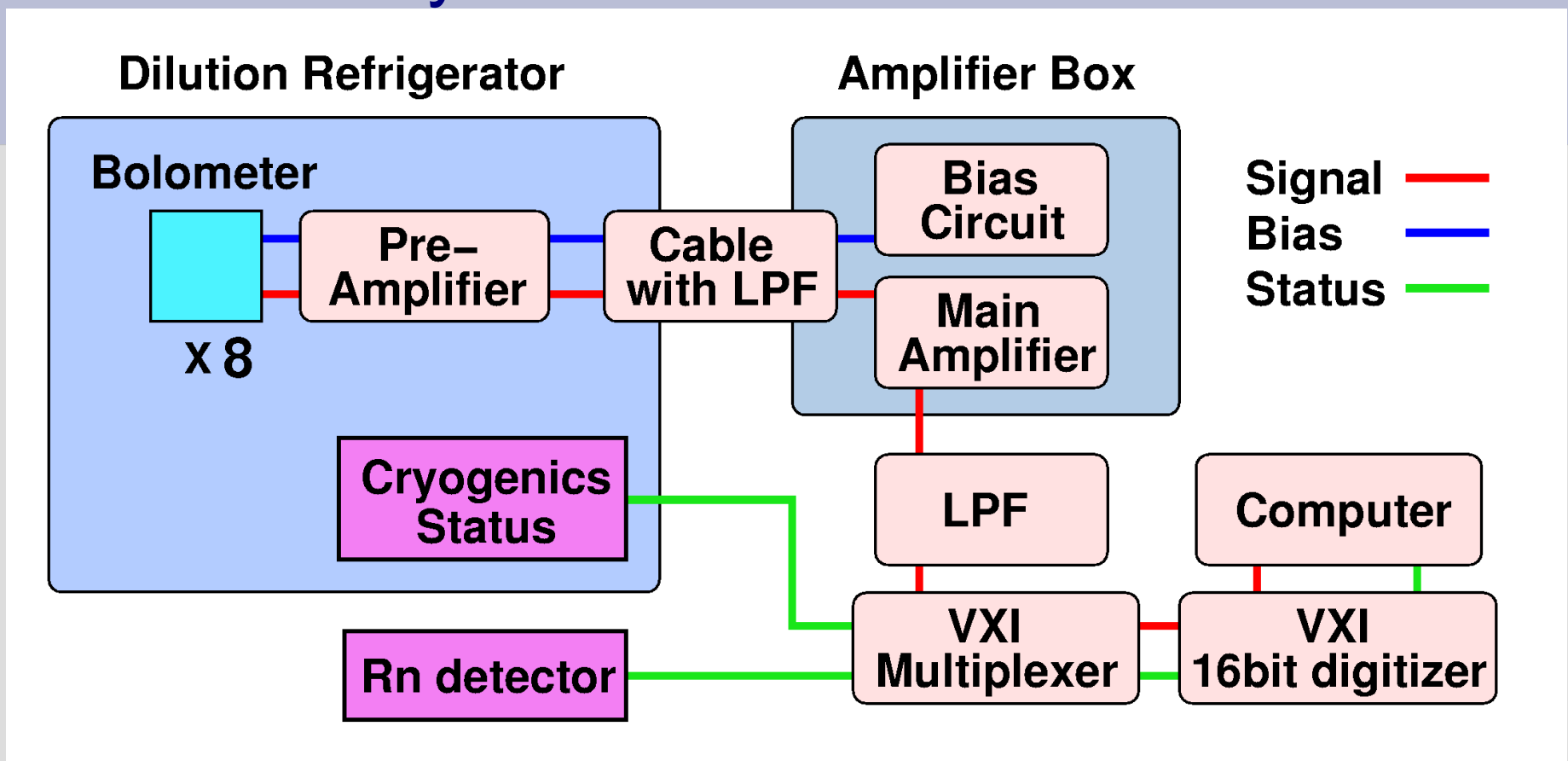
Expected sensitivity in the $a_p - a_n$ plane
 $M_{\text{WIMP}} = 50 \text{ GeV}$



Assuming the same spectrum as that of LiF target

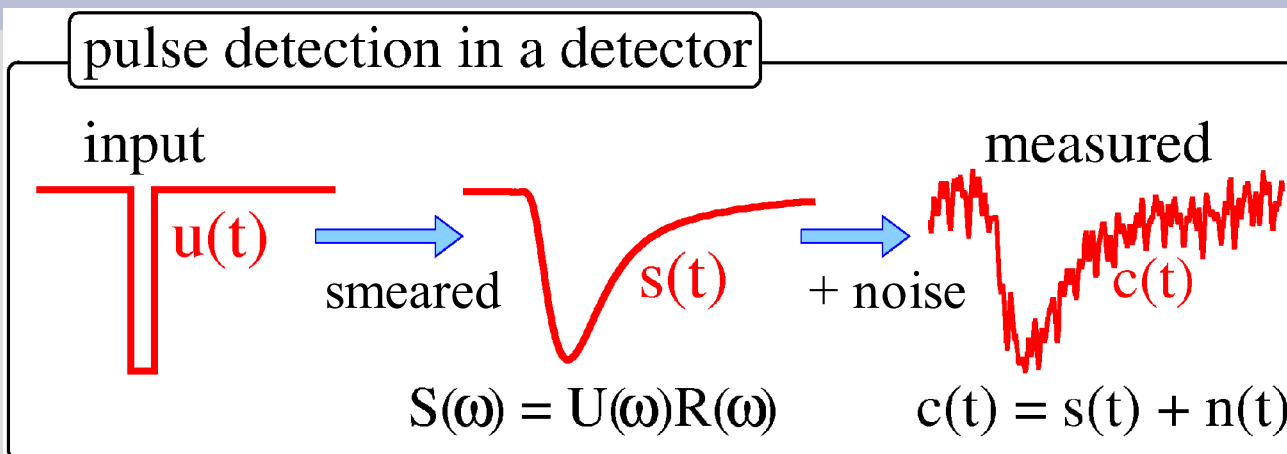


- DAQ System



- All data are taken **without any online trigger** with 1 kHz.
→ complete off line analysis
- Data size is 74 Mbyte / hour.

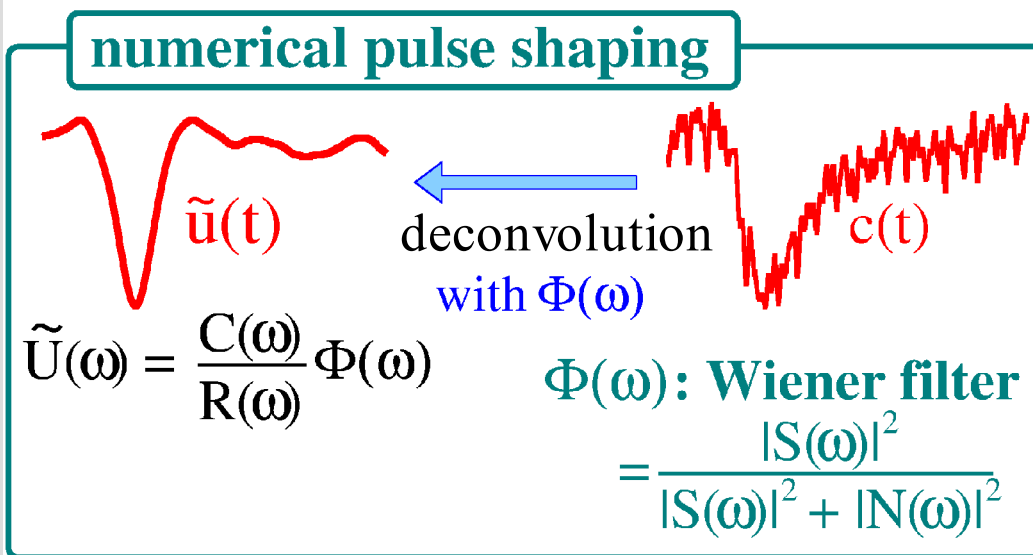
• Numerical Pulse Shaping with Wiener Filter



convolution

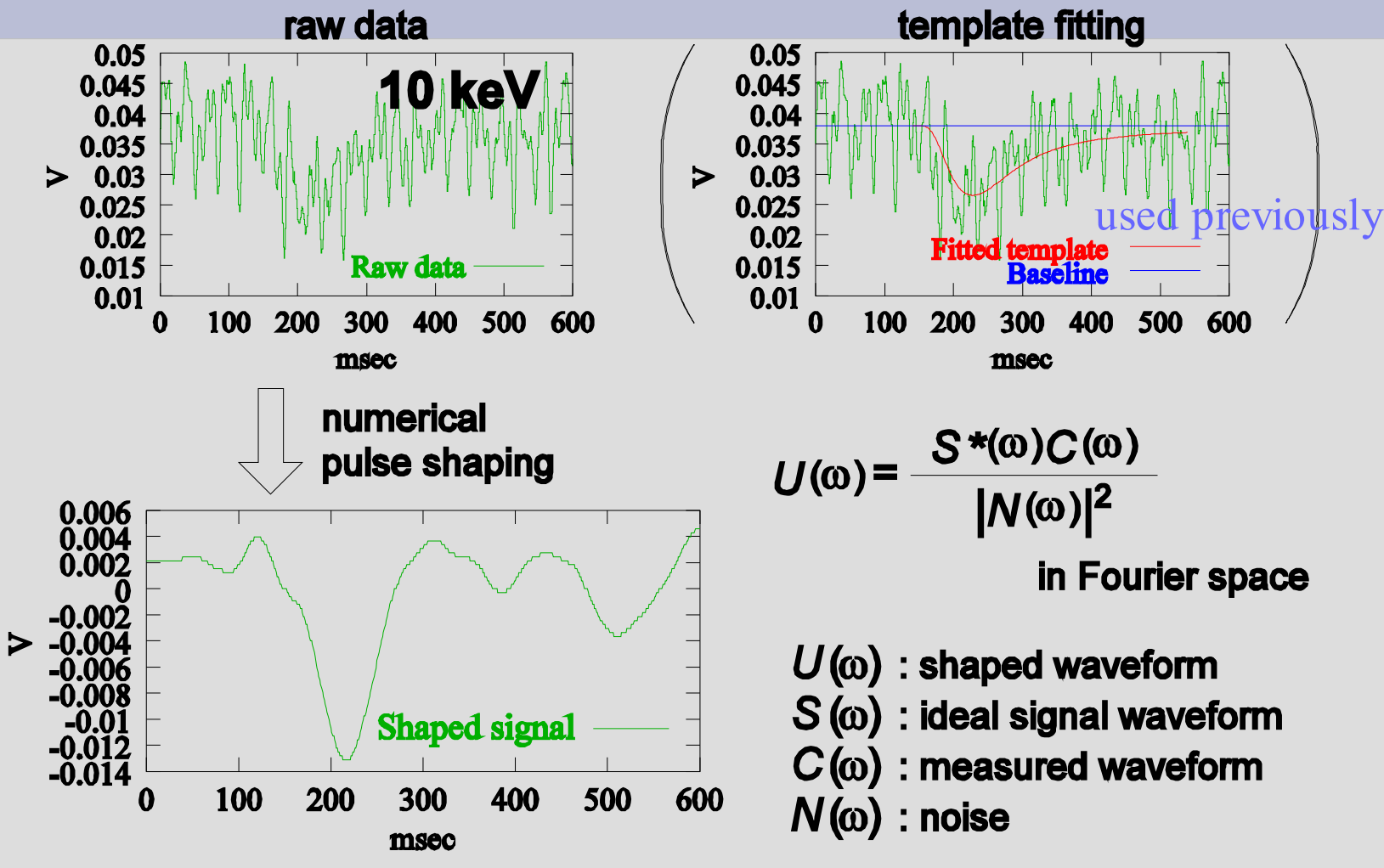
$$f * g \equiv \int_{-\infty}^{\infty} f(\tau)g(t-\tau)d\tau$$

$$\Leftrightarrow F(\omega)G(\omega)$$



$u(t), U(\omega)$: uncorrupted signal
 $r(t), R(\omega)$: response function
 $s(t), S(\omega)$: smeared signal
 $c(t), C(\omega)$: measured signal
 $n(t), N(\omega)$: noise

- Numerical Pulse Shaping with Wiener Filter



$$U(\omega) = \frac{S *(\omega) C(\omega)}{|N(\omega)|^2}$$

in Fourier space

$U(\omega)$: shaped waveform

$S(\omega)$: ideal signal waveform

$C(\omega)$: measured waveform

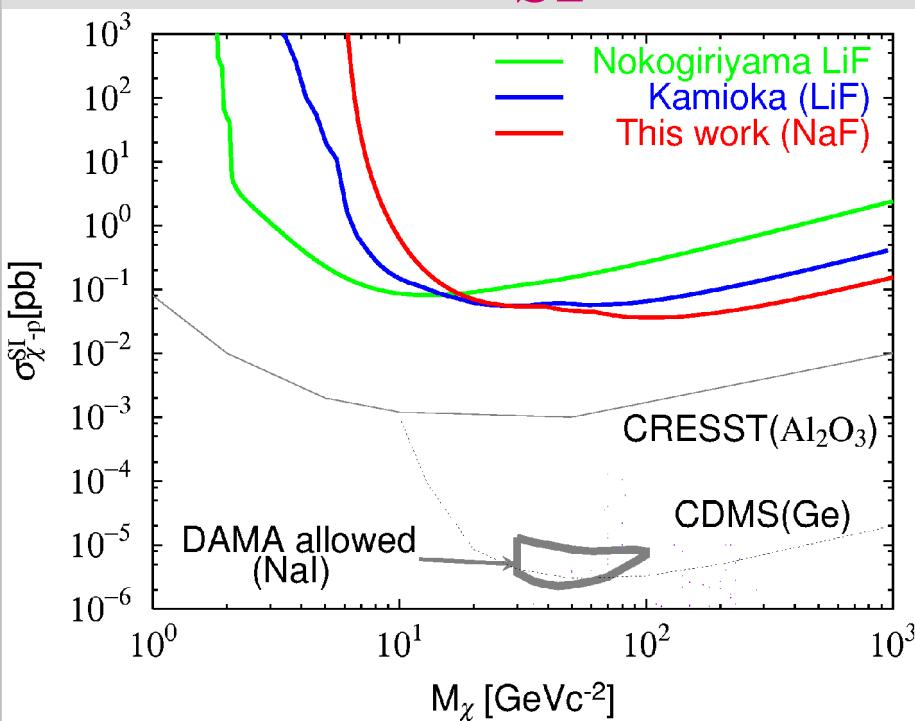
$N(\omega)$: noise

used for this analysis.

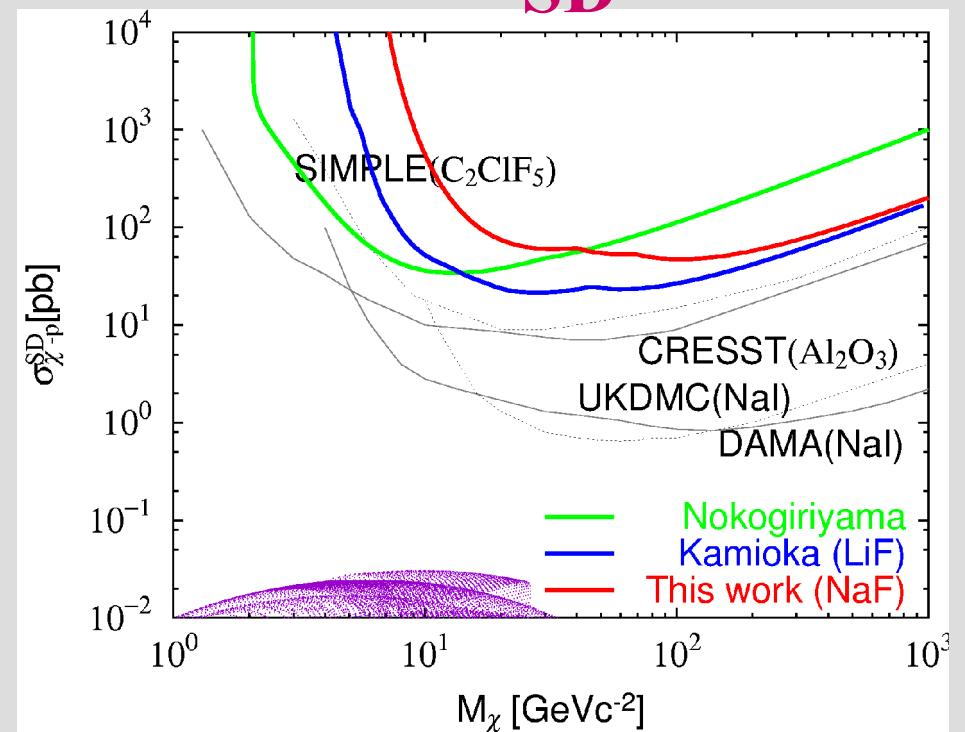
- Result (SI and SD $\sigma_{\chi-p}$ limit)

- Assumption : All events are dark matter events

SI

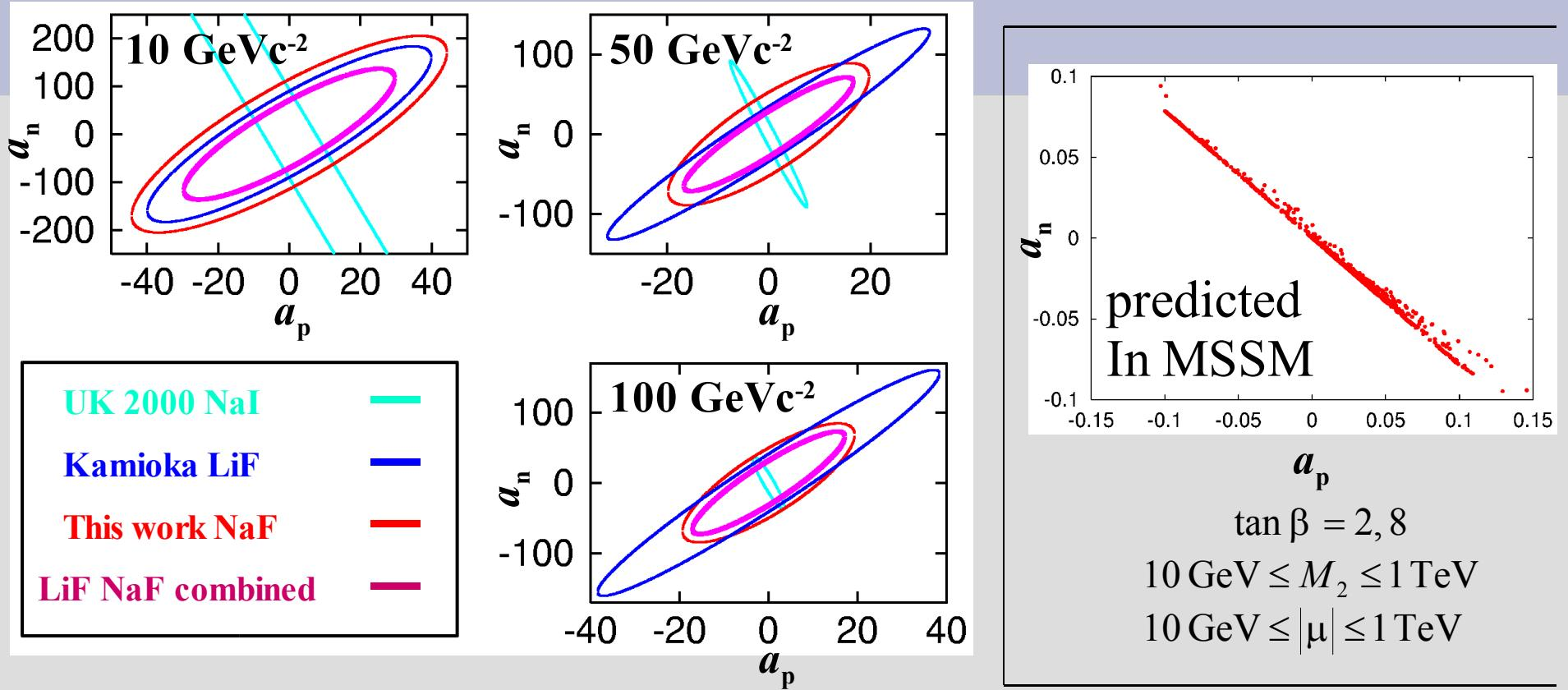


SD



- ▶ Best limits
(for 103 GeV)
 - SI : 0.036 pb
 - SD : 47 pb

- Result (SD limits in the a_p - a_n plane)



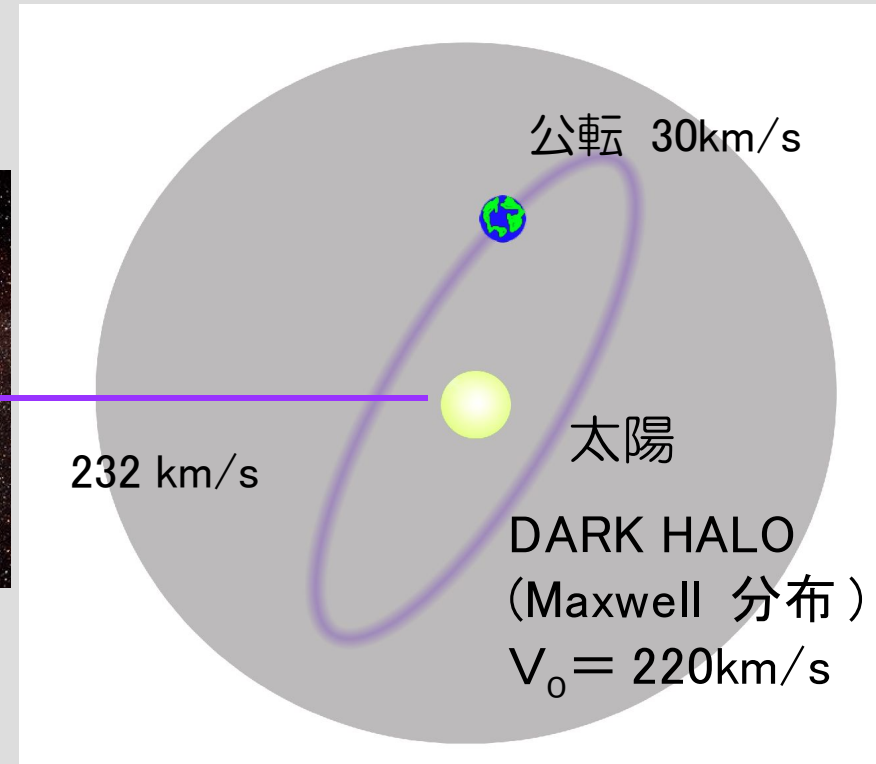
- We **improved LiF limits** in a part of the parameter space.
- Combined limits with the results of LiF are **more stringent than UK2000 limits** for 10, 50 and 100 GeV^{-2} .

Direction sensitive scintillators

R&D

銀河中での地球の動き

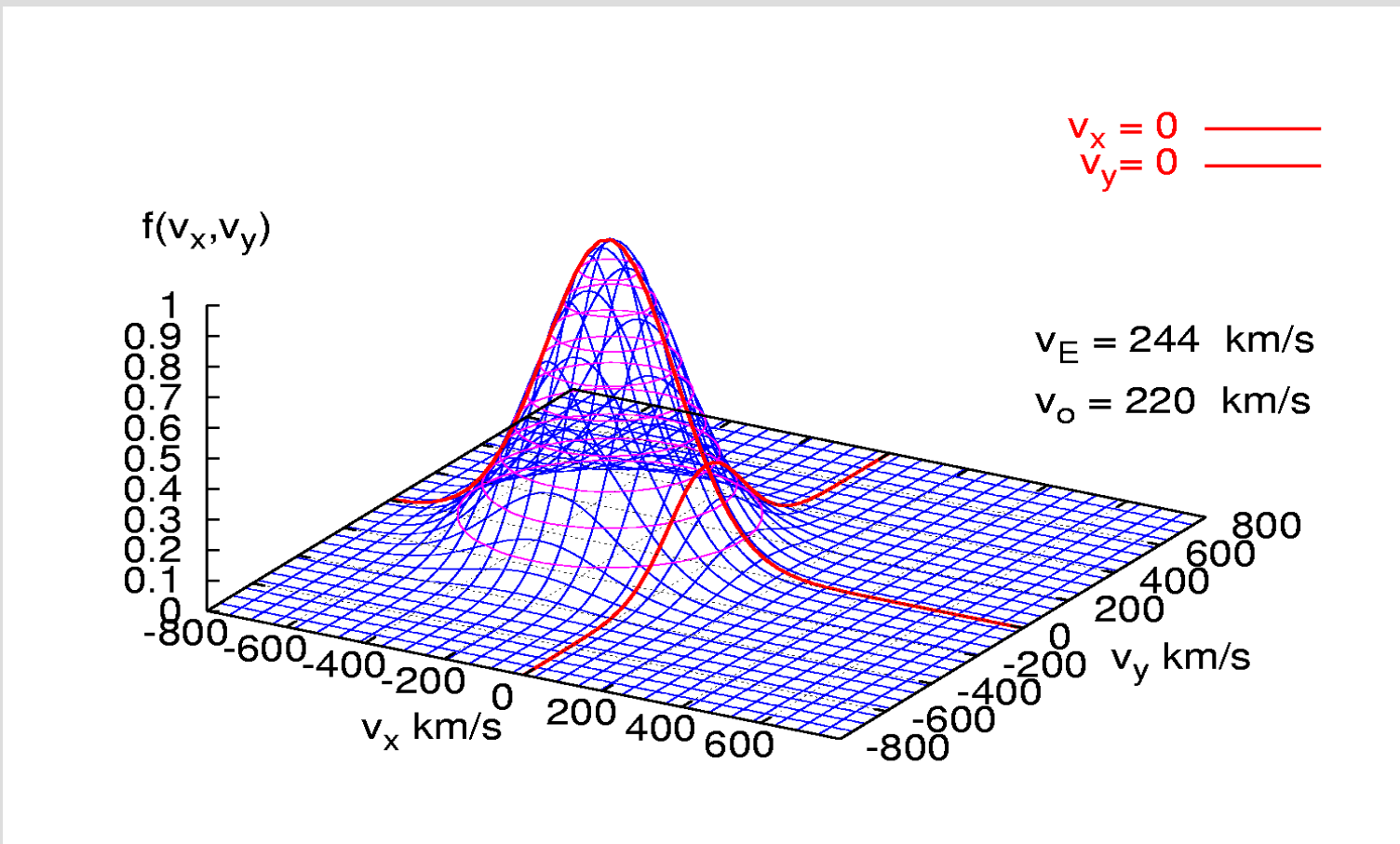
Cygnus



地球の自転 → DM の入射方向の日変化

地球の自転動きが暗黒物質のシグナルを生む

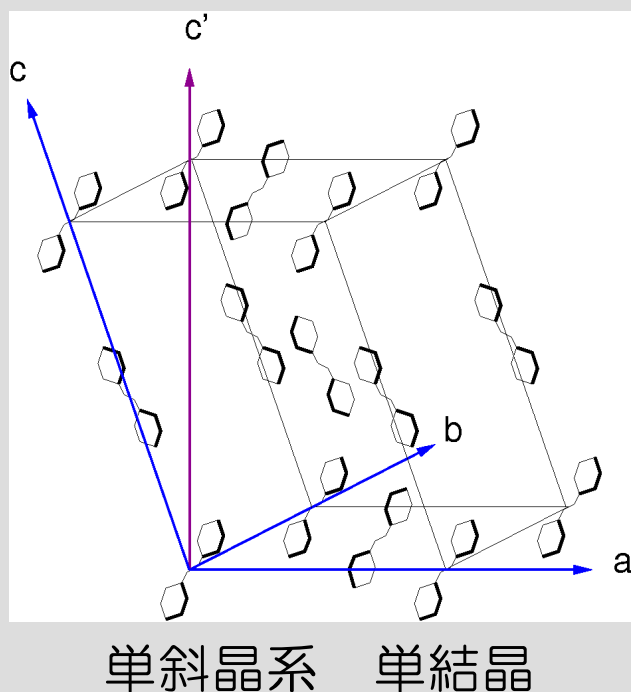
DM wind is fairy strong



スチルベンシンチレーター

重荷電粒子の入射方向によって発光量が異なる Z. Phys. 162 (1961) 122

→ 反跳原子核の方向に対する感度が期待される



trans-stilbene



- 発光量 : 30% of NaI
- 発光波長 : 410 nm
- 減衰時間 : 即発成分 5 ns
- 結晶軸 c' に対する角度により光量異なる

m_χ (10 GeV) の暗黒物質に感度のある低エネルギー (100 keV 以下) の炭素反跳について測定を行った

中性子による発光効率測定

炭素反跳測定の原理

中性子散乱角 θ_n を固定して ($\theta_n = 120^\circ$)
TOF で入射エネルギー E_n と散乱エネルギー $E_{n'}$
を測定

反跳原子核
反跳エネルギー E_R は一意に決まる
反跳角 θ_N

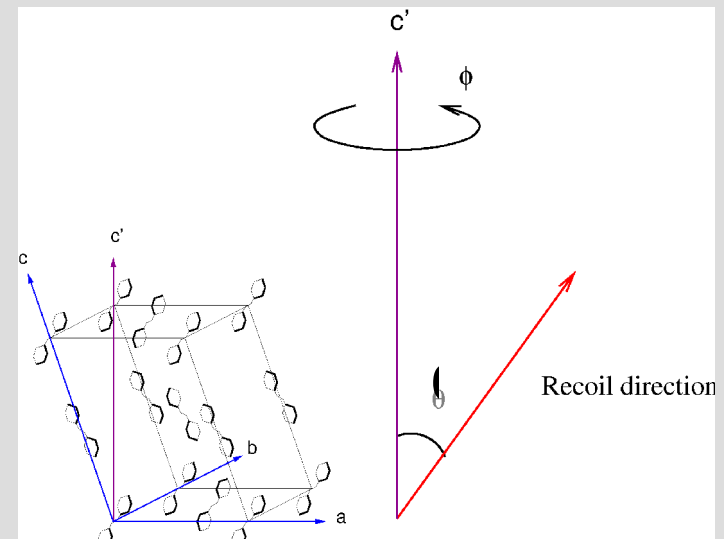
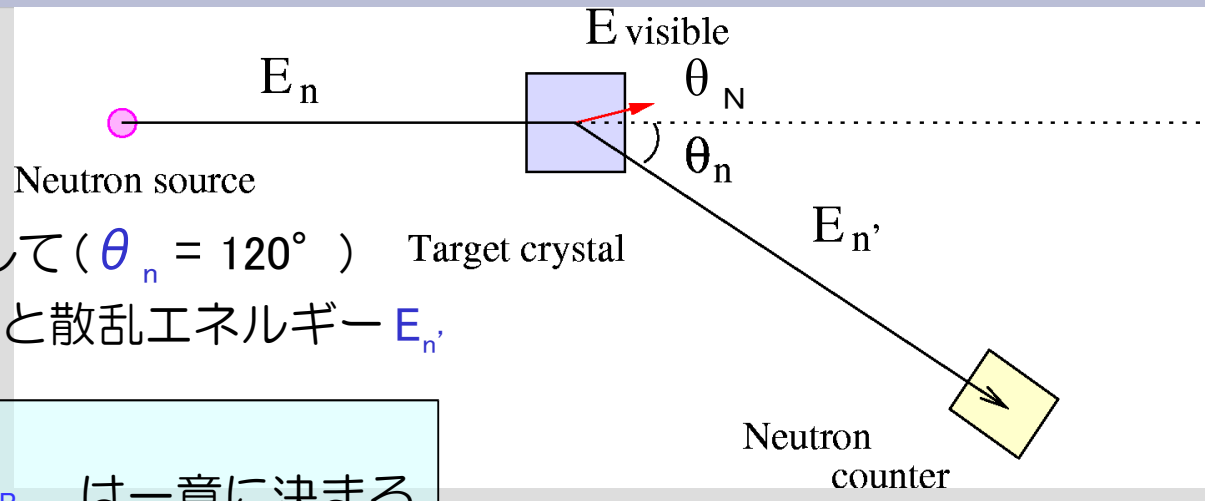
kinematics

中性子 \leftrightarrow WIMP

求めるべきもの

発光効率の c' 軸に対する反跳角 θ 依存性

$$\text{Relative efficiency } q(E_R, \theta) = \frac{E_{\text{visible}}}{E_R}$$

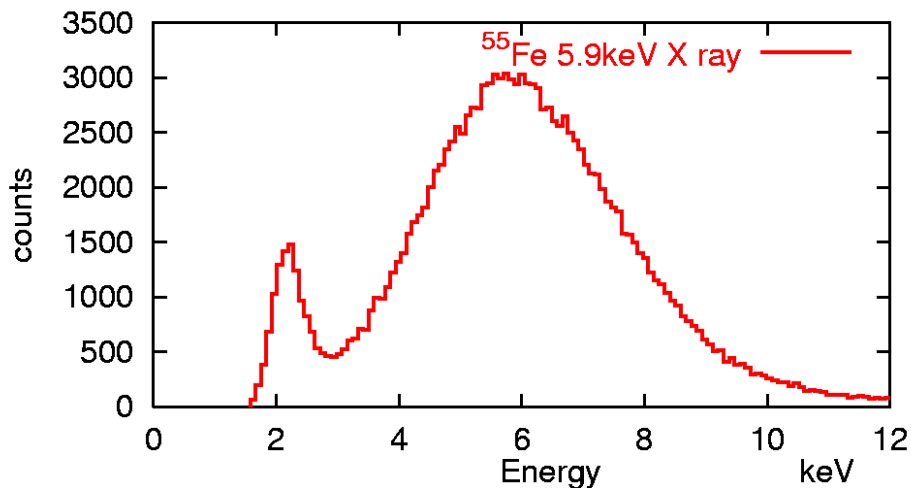


測定

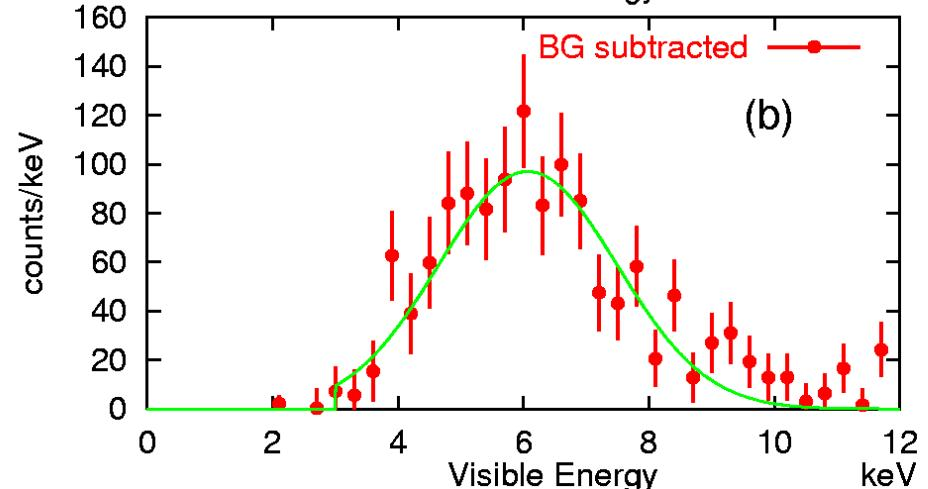
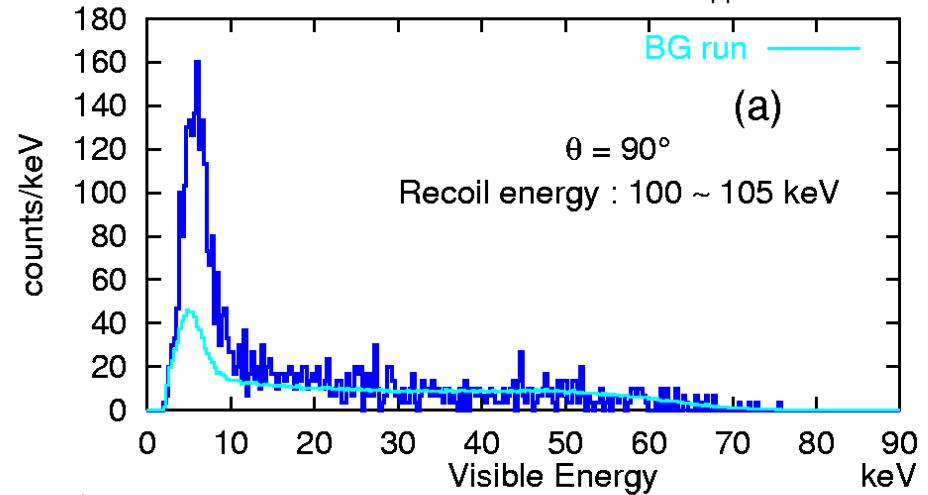
2cm × 2cm × 2cm スチルベン結晶



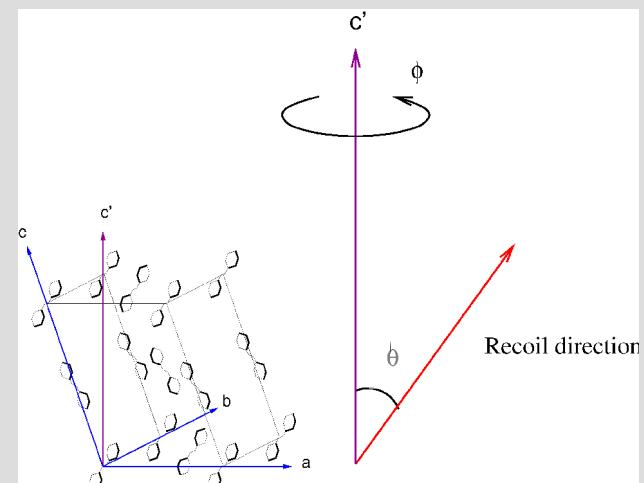
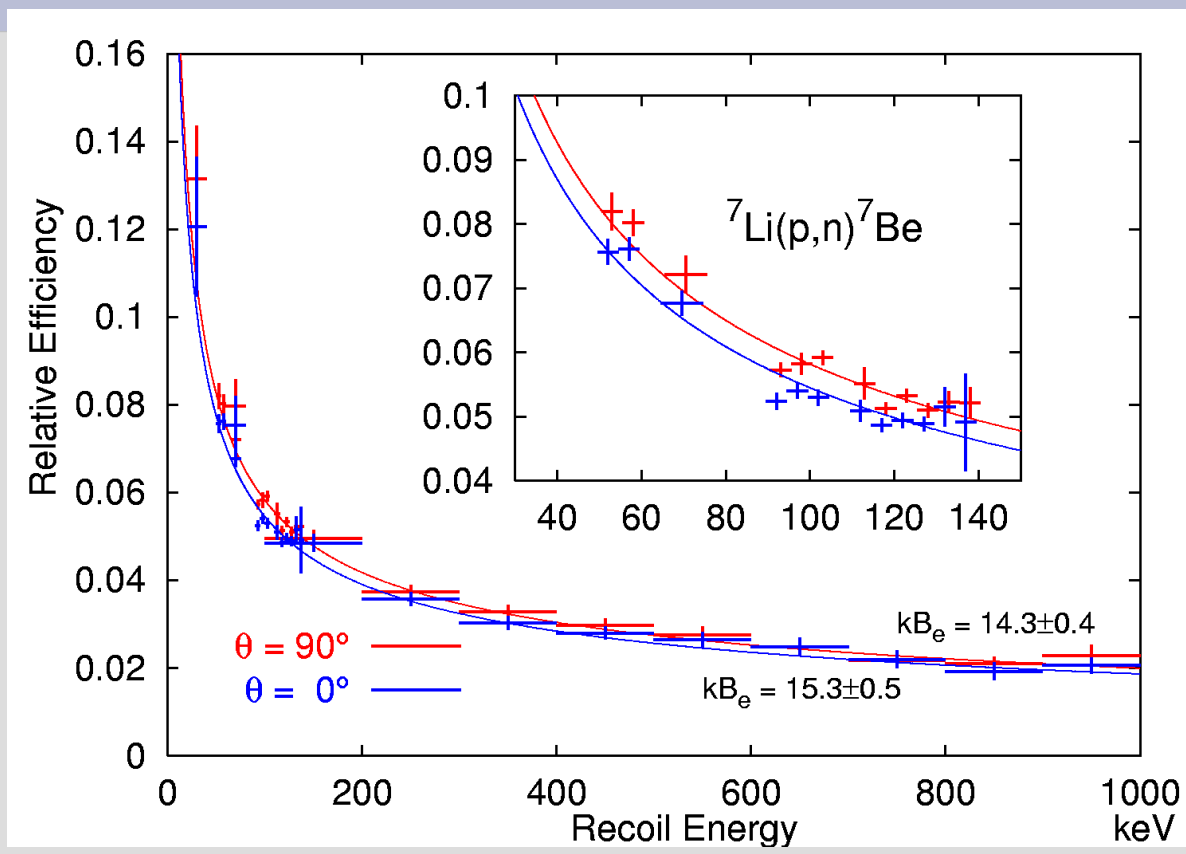
● 5.9 keV X-ray



● 450 keV 中性子 $\theta_n = 120^\circ$

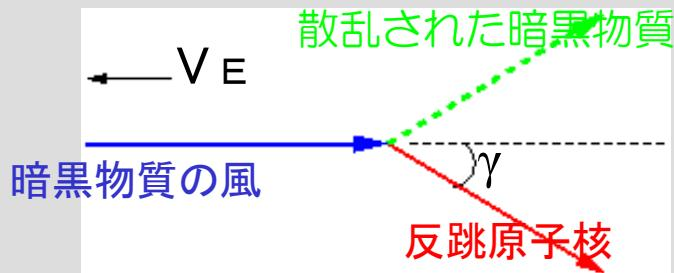


結果



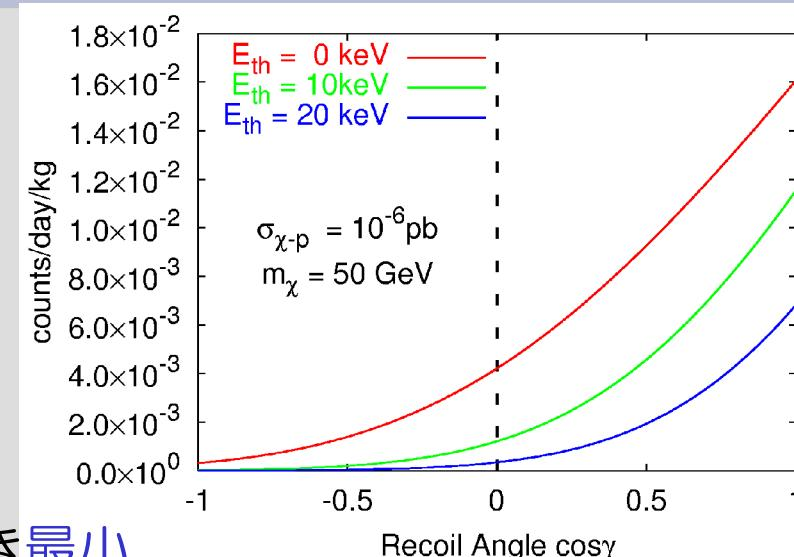
- 炭素反跳の発光効率は c' axis に関して 7 % 变化
- ほかの軸に対する (ϕ) 依存性は見られなかった

暗黒物質探索への利用



スチルベンの発光量は

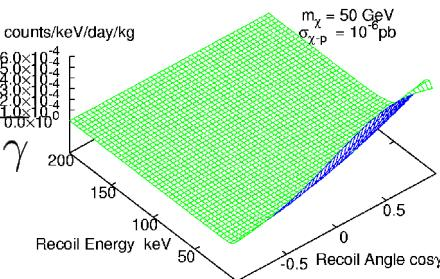
- { ● c' // V_E のとき最小
- c' $\perp V_E$ のとき最大



暗黒物質にシグナルは光出力スペクトルに現れる

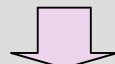
$$\frac{dR'}{dE_{\text{vis}}} = \int dE_R d\cos\gamma \delta(E_{\text{vis}} - q(E_R, \cos\gamma)E_R) \frac{d^2 R}{dE_R d\cos\gamma}$$

$\cos\theta = c'$ の方向と反跳方向の内積



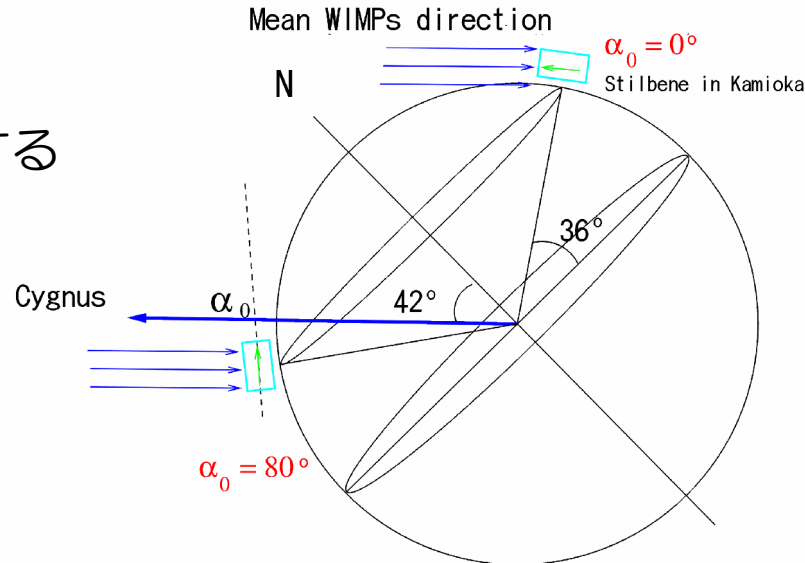
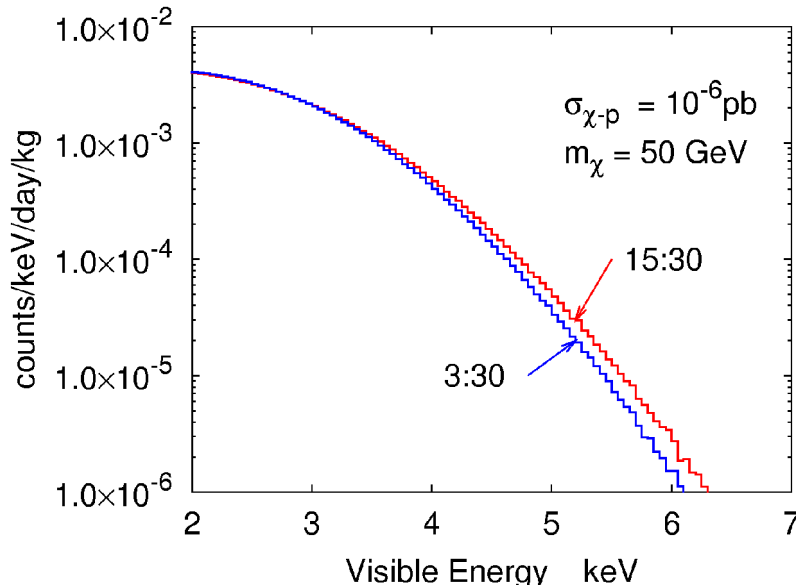
暗黒物質探索への利用

- Cygnus. の方向
RA21 h 12 m,
dec.+48.19°
- 神岡（北緯36度25分）で実験する

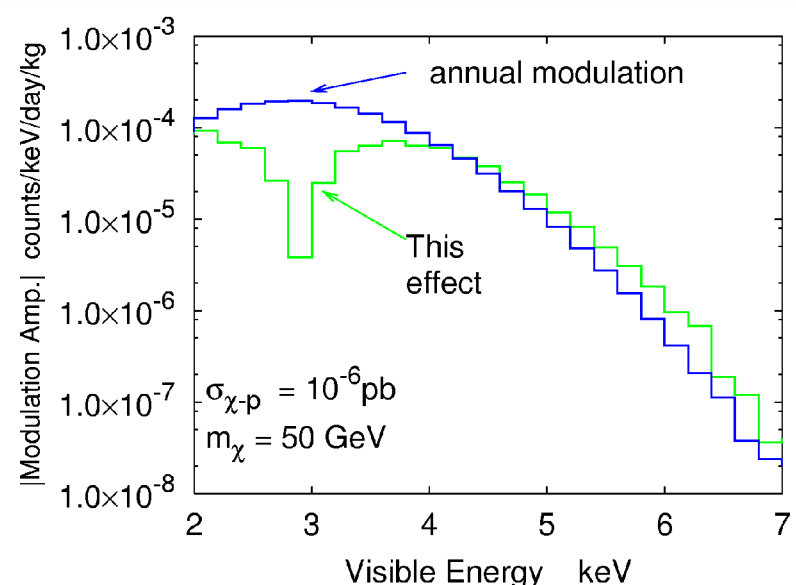


c' 軸を北極に向けておけば
地球の自転により風向きとc' 軸
の角度が約80° 变化する。

スペクトルの変化 2003. 12. 1

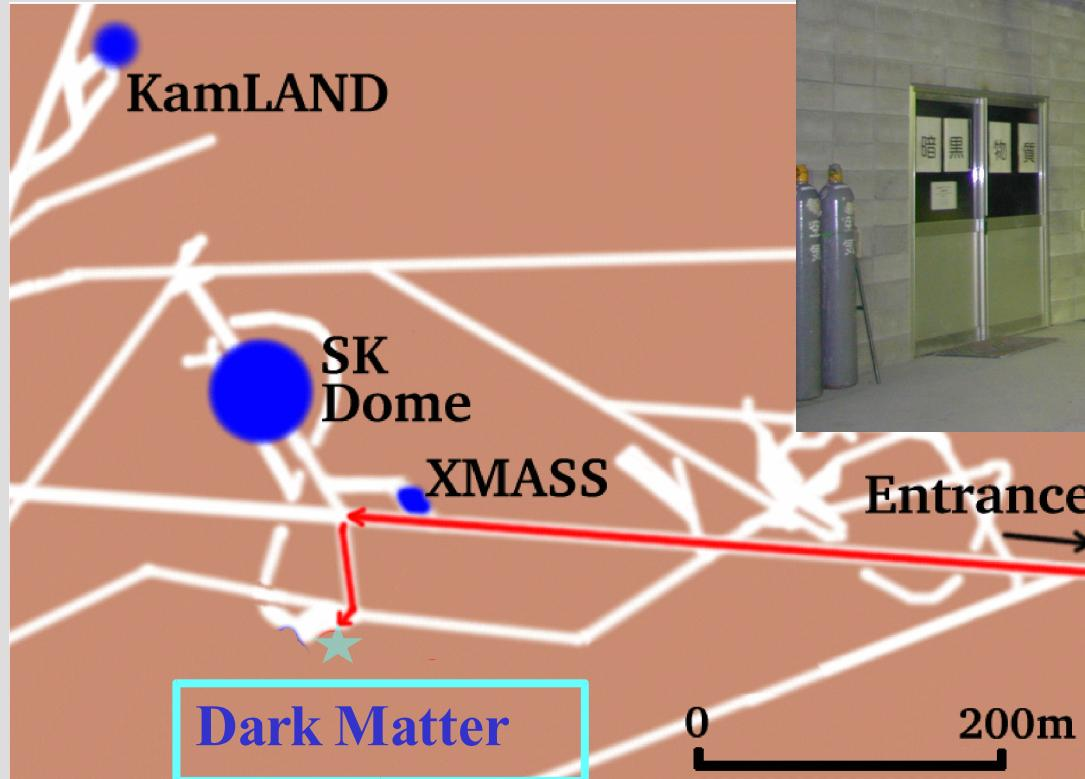


変化量



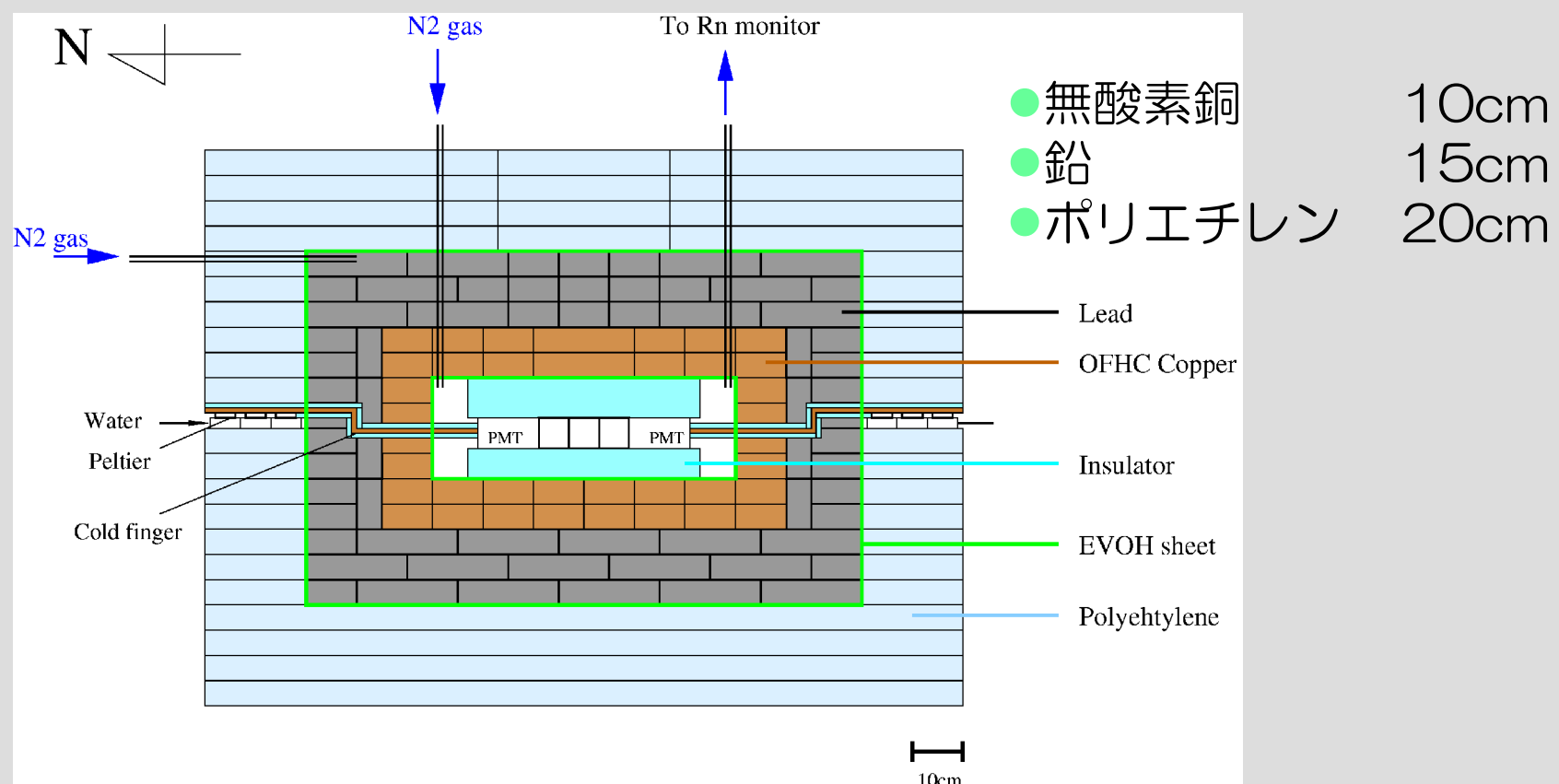
神岡地下実験室での測定

- 地下 2700 m.w.e
(1000 m)
- Muon flux
 $\sim 10^{-7} \text{ cm}^{-2}\text{s}^{-1}$



放射線シールド

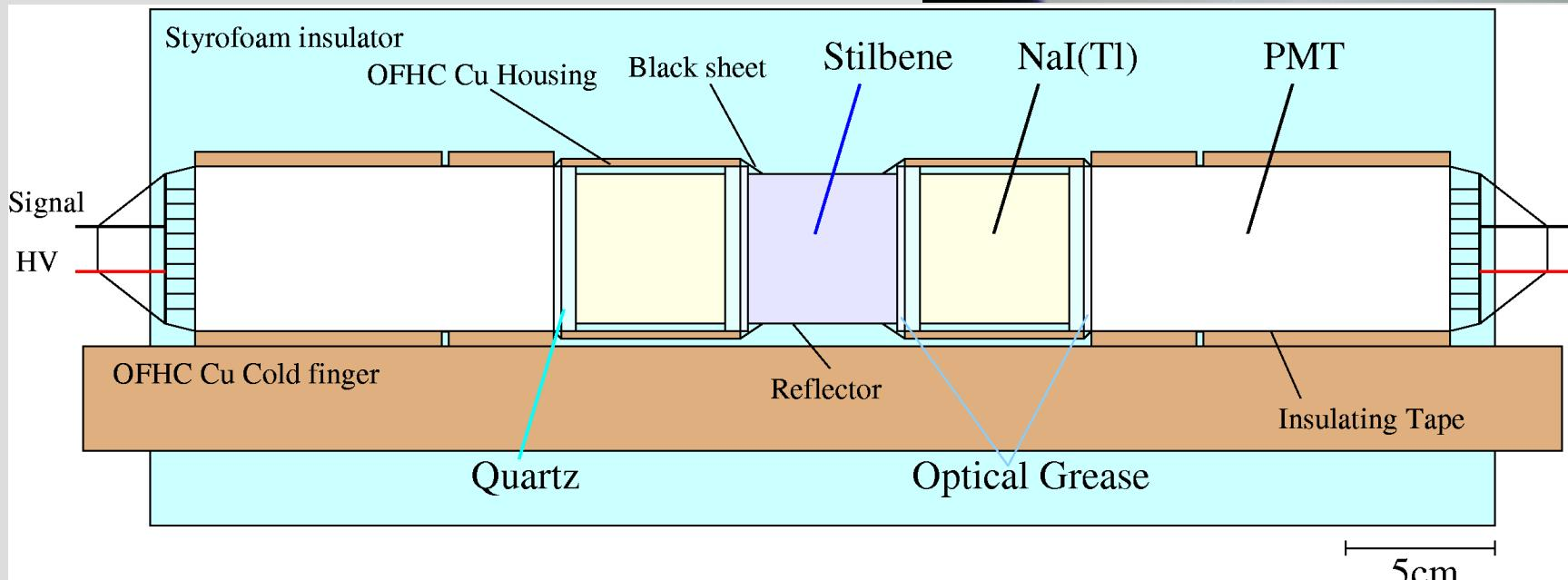
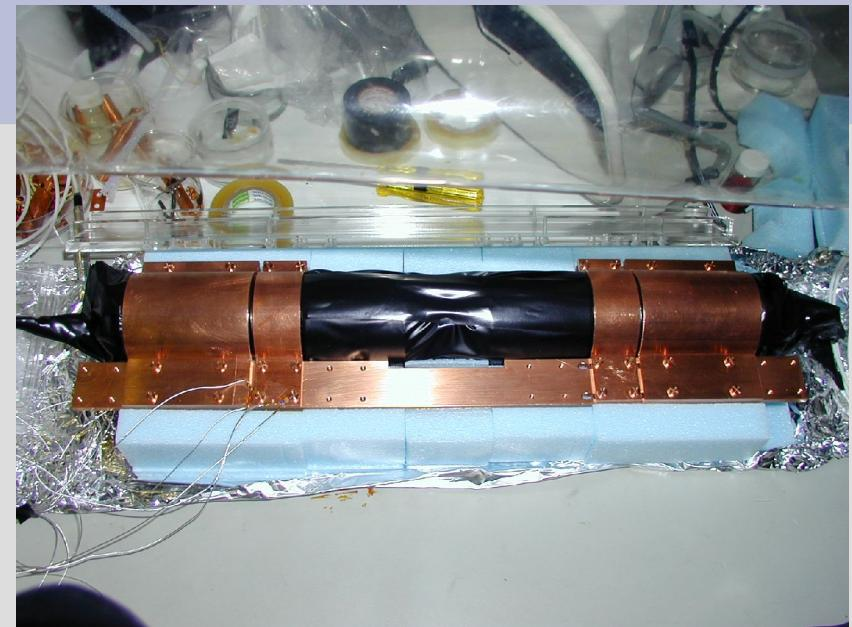
- シールドごと北を向けている



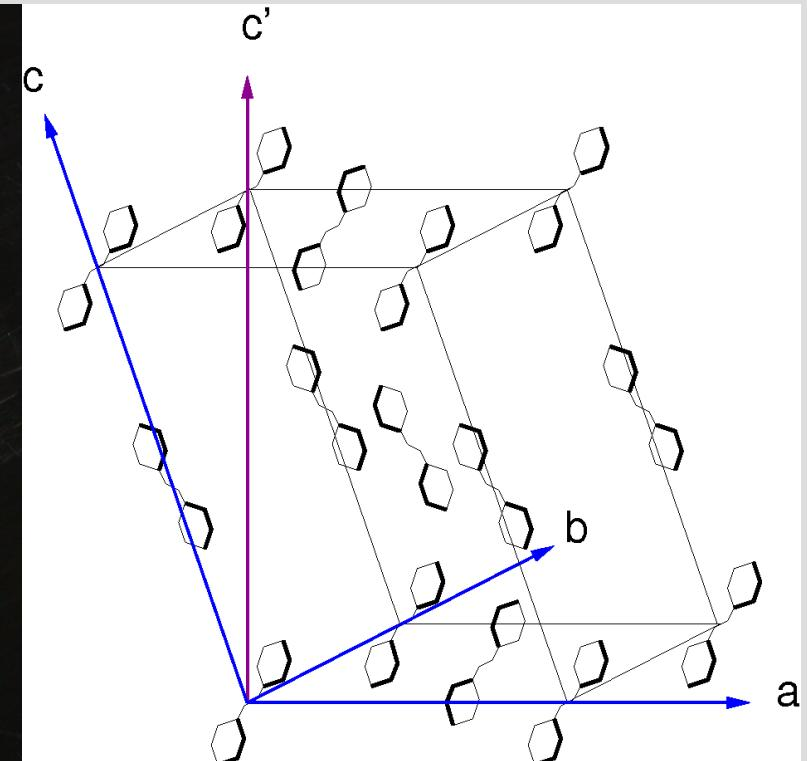
- 蒸発窒素ガスによるラドンパージ → ~1 Bq/m³

検出器

- 116 g スチルベン結晶
- Low BG PMT 浜松 R8778MOD
2本による両読み出し
- NaI(Tl) によるアクティブシールド
- ペルチェ素子による PMT 冷却



スチルベン結晶



PMT R8778MOD

- XMASS 実験用の R8778 の光電面を可視光用に変更
- 金属バルブの低バックグラウンド仕様



浜松ホトニクス R8778MOD-ASSY

Nal(Tl) シールド

- PMT からの放射線を防ぐため

R8778 1本あたり
Geによる測定
by Xmass

U 系列	Th 系列	^{40}K	^{60}Co
$1.8 \times 10^{-2}\text{Bq}$	$6.9 \times 10^{-3}\text{Bq}$	$1.4 \times 10^{-1}\text{Bq}$	$5.5 \times 10^{-3}\text{Bq}$

- スチルベンの発光量少ない
→ Nal 可視光を透過する High Z な物質



R8778MOD の暗電流

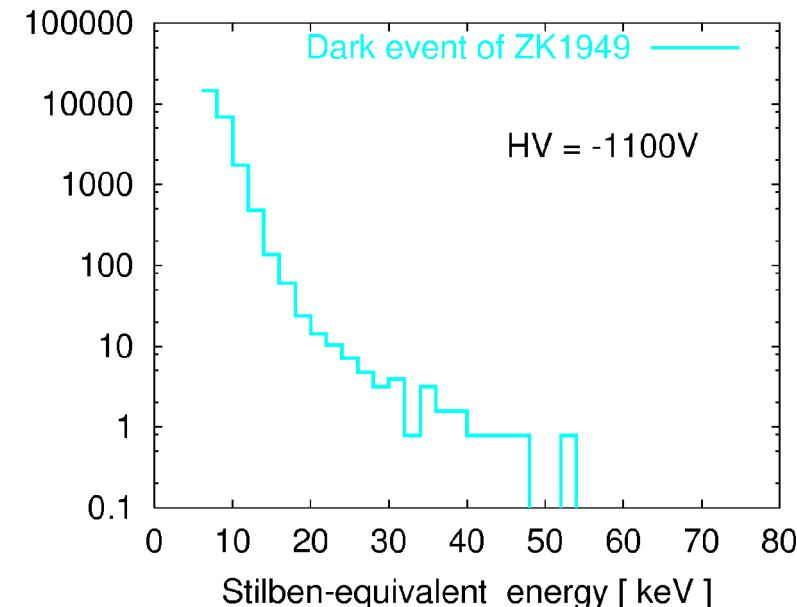
- 可視光用光電面、少量生産

→ 暗電流（パルス）が多い

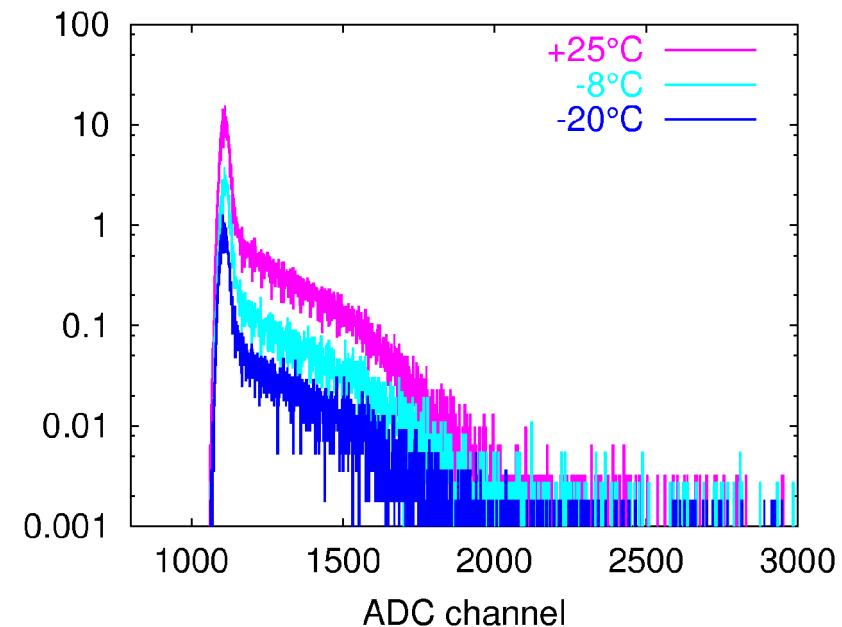
- ペルチェ素子を用いて冷却
- 2本のコインシデンスとる

→ 影響なくなる。

結晶なし、シールド内でのスペクトル

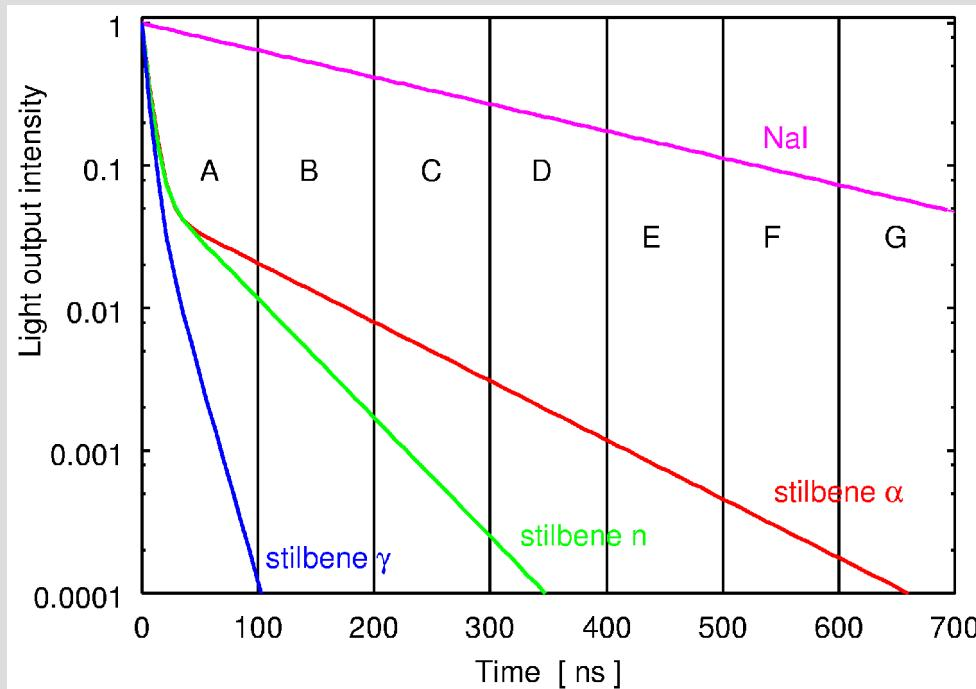


冷却による減少の様子

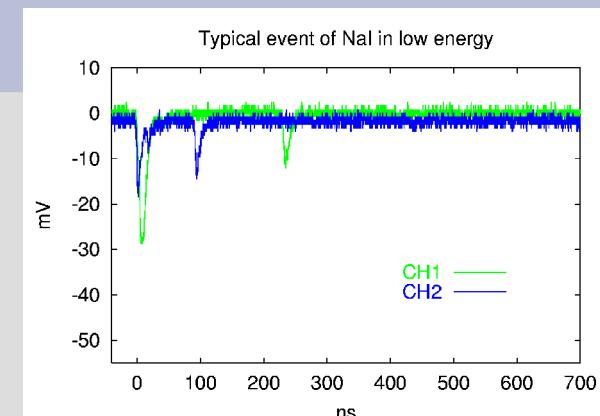


イベント選択

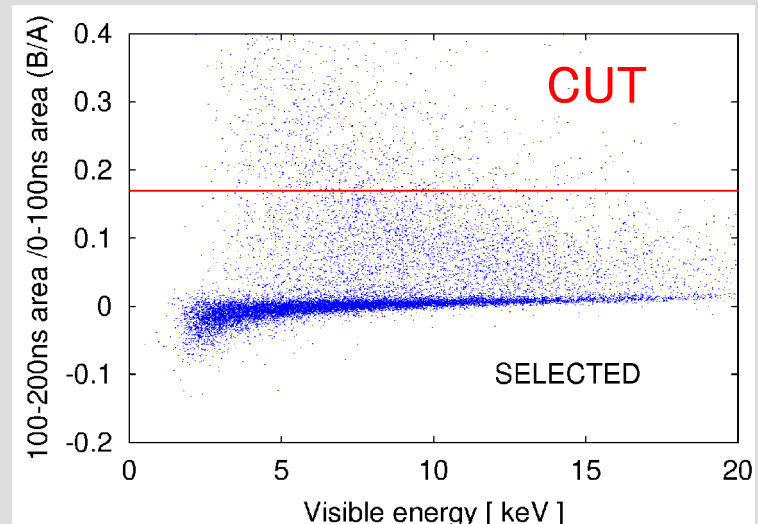
低エネルギーでは NaI は“波形”を成さない

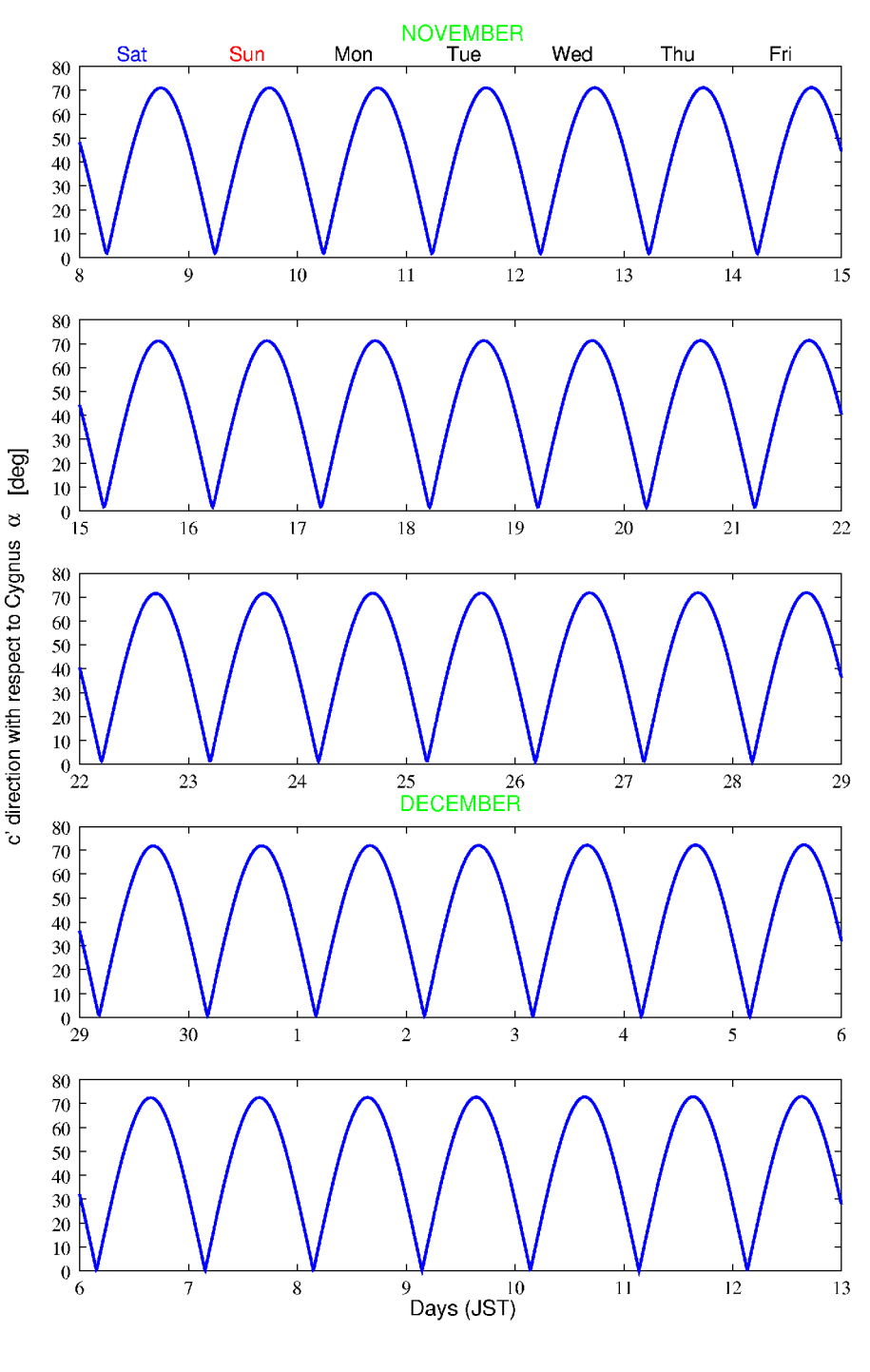


それぞれの領域の波形を積分して
領域 A での値との比に対して CUT
をかける



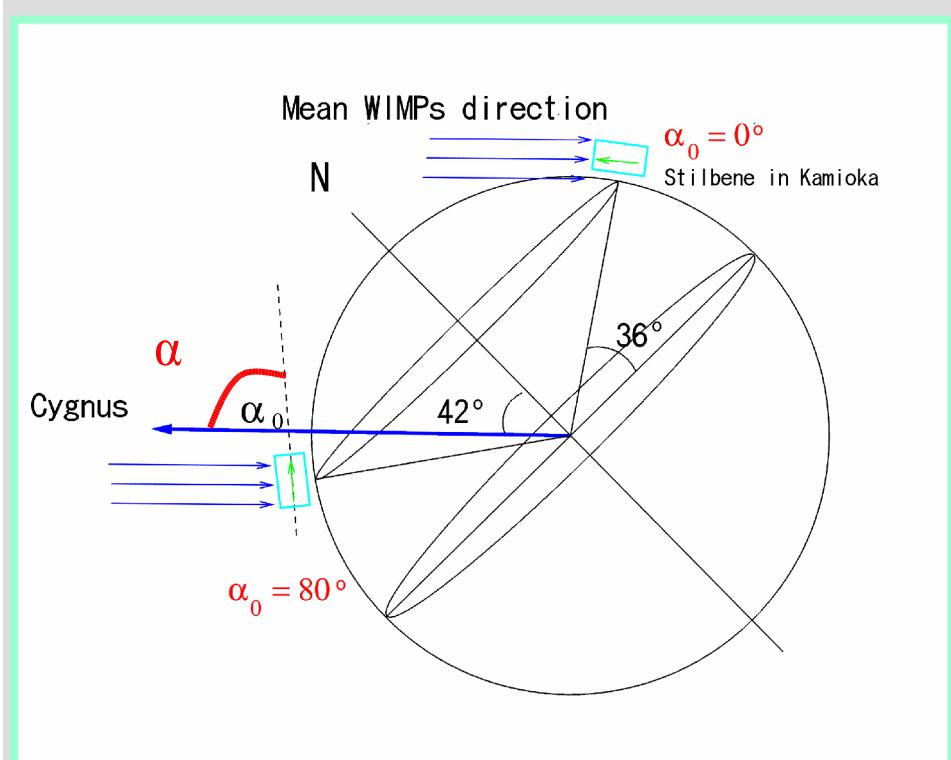
オシロスコープで取得した
波形を領域に分けて
低エネルギーでの
NaI (Tl) イベントを除去



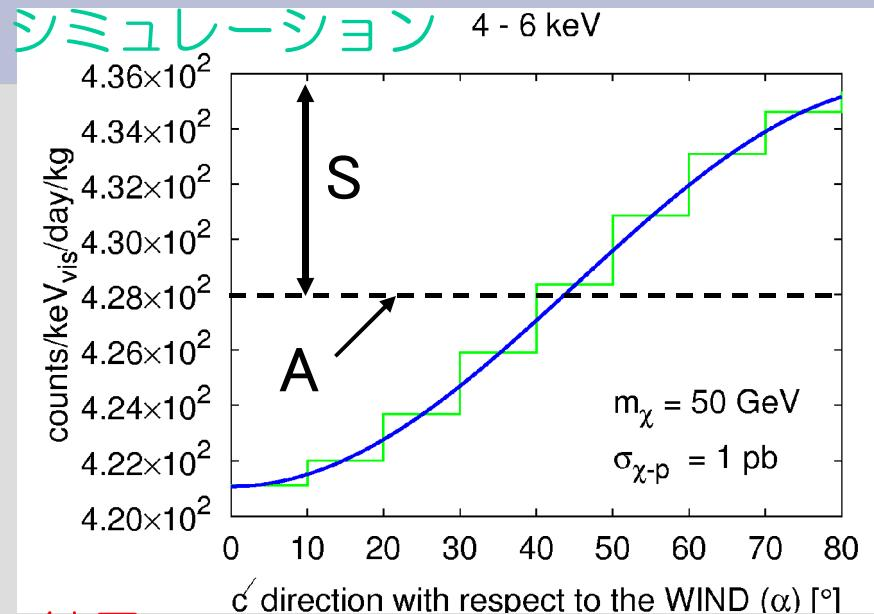


風向きの変化

測定期間中の
地球の進行方向と結晶軸 c'
のなす角 α の変化



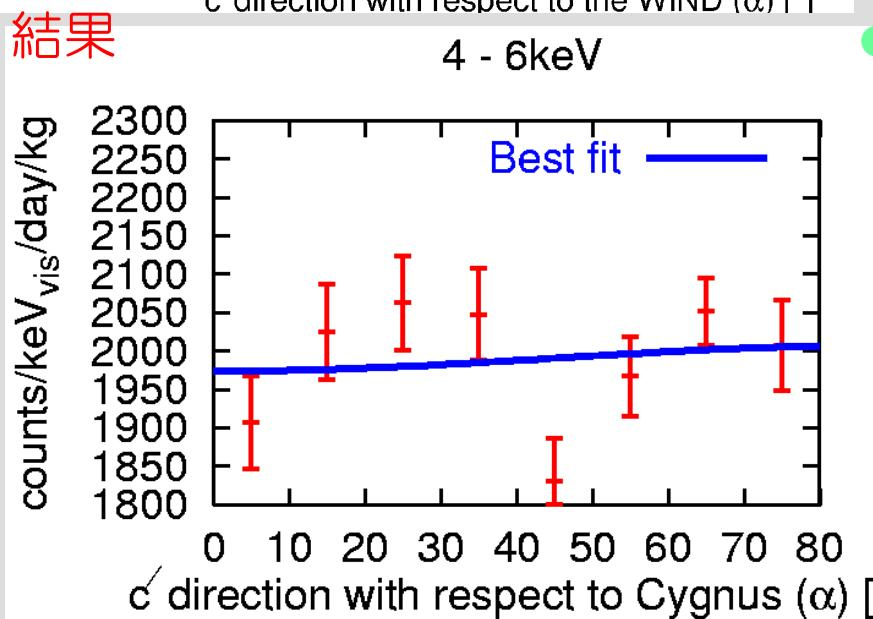
断面積に対する制限の導出



α による
予想されるレート(シミュレーション)
と測定結果を比較する

$A - S \cos 2\alpha$ と変化する

- A の比較
すべてのイベントを暗黒物質とした conventional な制限
- S の比較
暗黒物質の風からの制限



$$\chi^2/\text{ndf} = 2.43228$$

$$A^{\text{exp}}_k = 1990.71 \pm 19.70$$

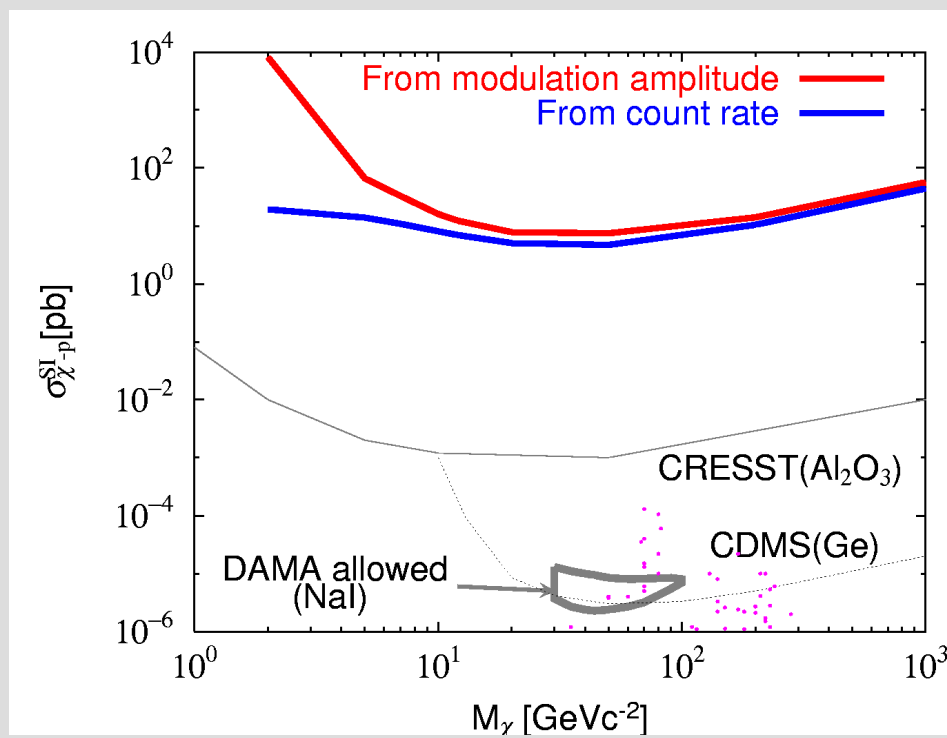
$$S^{\text{exp}}_k = 16.9364 \pm 30.51$$

→ α に対してフラット

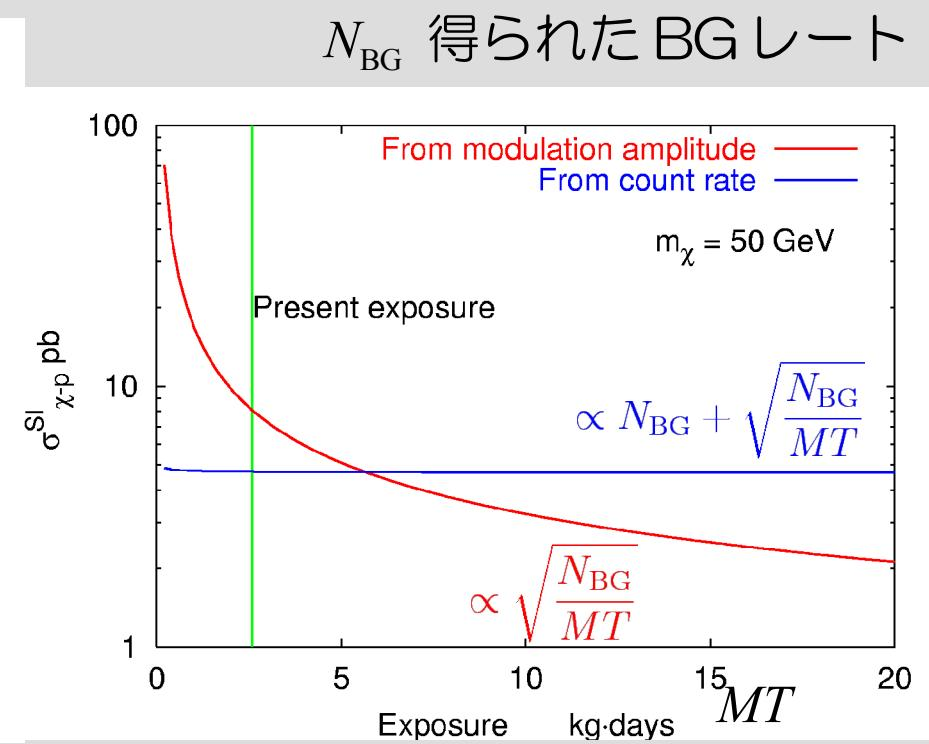
暗黒物質に対する制限曲線

暗黒物質の風からの制限

conventional な制限



予想される制限



長時間・大質量の測定で逆転、
バックグラウンドを下げるとも、さらに制限できる

今後

実験を制限しているもの

1. バックグラウンドレート

PMT 中の放射性不純物

(ダイノード構造のセラミック、ステム部分のガラス)

- ● 結晶の周りを古い鉛で囲う
● 光検出器の改善 (量子効率の意味でも)
Avalanche Photodiode, Prism PMT など

2. スチルベン結晶

Anisotropy not sufficient

$A=12$ is not large enough for SI detection

$$(\sigma_{\chi-N}^{\text{SI}} \propto A^2)$$

- ● より異方性のある、アントラセン・ナフタレンの使用
● Spin に依存した相互作用に有利な ^{19}F を含む結晶の製造
Octafluoronaphthalene, dodecafluoroanthracene

END

Tokyo Group Results

Publications

H. Sekiya, M. Minowa, Y. Shimizu, Y. Inoue, W. Suganuma:
Measurements of anisotropic scintillation efficiency for carbon recoils in a stilbene crystal for dark matter detection,
[astro-ph/0307384](#), **Physics Letters B571 (2003) 132-138.**

A.Takeda, M.Minowa, K.Miuchi, H.Sekiya, Y.Shimizu, Y.Inoue, W.Ootani, Y.Ootuka:
Limits on the WIMP-Nucleon Coupling Coefficients from Dark Matter Search Experiment with NaF Bolometer,
[astro-ph/0306365](#), **Physics Letters B572 (2003) 145-151.**

Y. Shimizu, M. Minowa, H. Sekiya, Y. Inoue:
Directional scintillation detector for the detection of the wind of WIMPs,
[astro-ph/0207529](#), **Nuclear Instruments and Methods in Physics Research Section A 496 (2003) 347-352.**

K. Miuchi, M. Minowa, A. Takeda, H. Sekiya, Y. Shimizu, Y. Inoue, W. Ootani, and Y. Ootuka:
First results from dark matter search experiment with LiF bolometer at Kamioka Underground Laboratory,
[astro-ph/0204411](#), **Astroparticle Physics 19 (2003) 135-144.**

Another challenging DM search

XMASS experiment

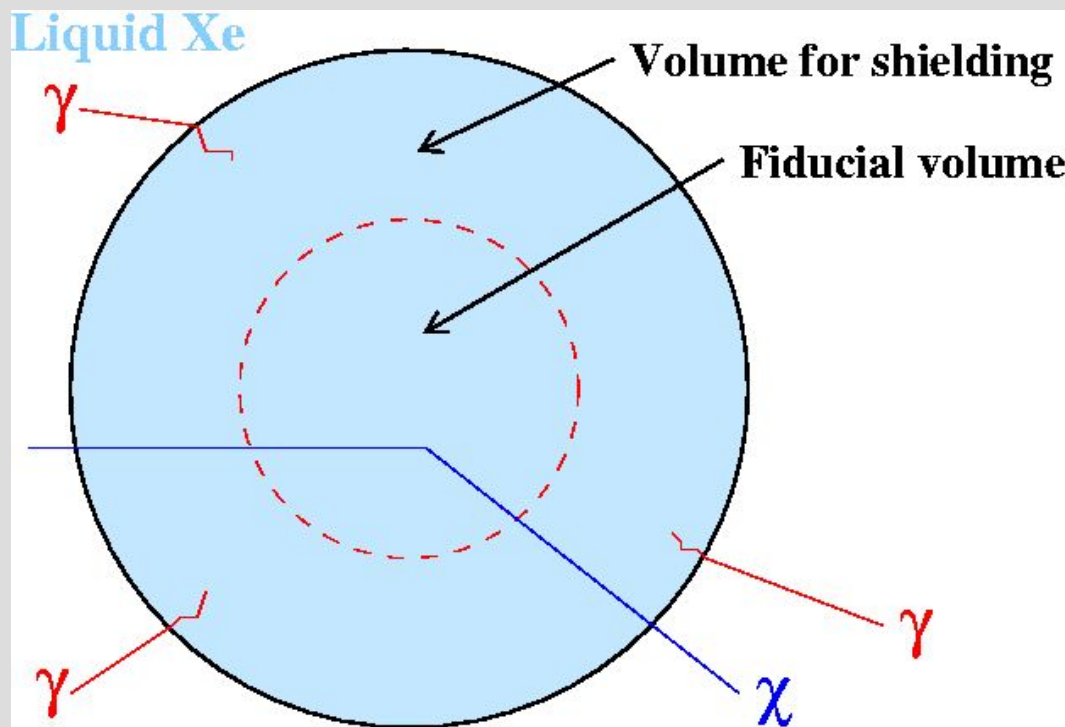
- Goals

- ★ Direct detection of Dark Matter
 - Discovery of Dark Matter
- ★ Real time observation of low energy solar ν (pp, ^7Be)
 - Precise determination of ν oscillation parameters
- ★ Observation of $0\nu\beta\beta$ decay
 - Majorana property and absolute mass of ν

XMASS = Multipurpose Ultra low-background detector
with liquid Xe

- Key idea

Self shielding for γ ray background by liquid Xe ($Z=54$)



Reconstruct the vertex of events from PMTs information

→ γ ray backgrounds are absorbed in outer volume

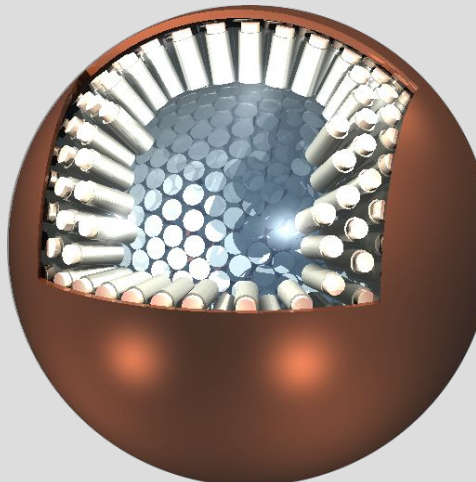
→ Dark matter can go into fiducial volume

- Strategy of the scale-up

100kg prototype

800kg detector

~ 10ton detector



~ 30cm

~ 80cm

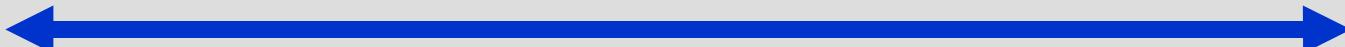
~ 2.5m



R&D



Now

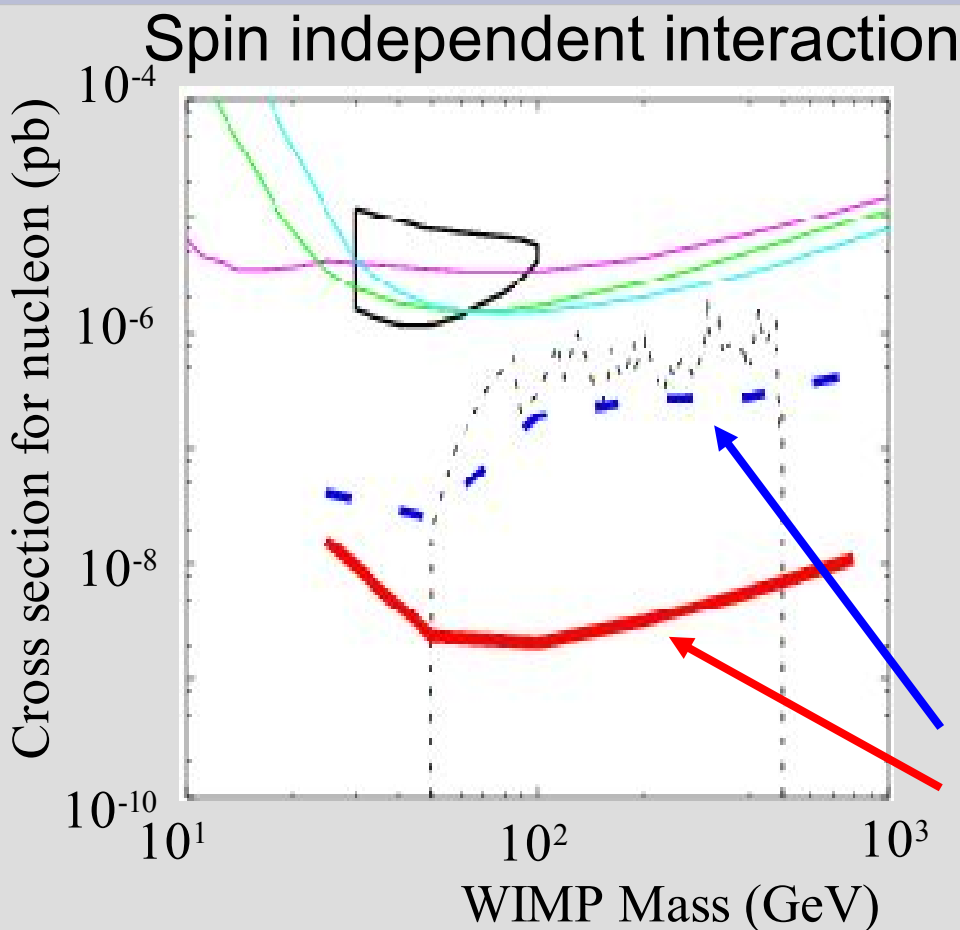


Dark matter search



Multipurpose detector

- Sensitivity of 800kg detector for DM (SI)



Discover!

DAMA (NaI)

Exclude

Edelweiss (Ge)

ZEPLIN (Xe)

CDMS (Ge)

XMASS 800kg detector (Xe)

(5keV threshold, 5year)

Annual modulation (3σ discovery)

Raw spectrum (3σ discovery)

> 10^2 improvement of sensitivity for existing experiments

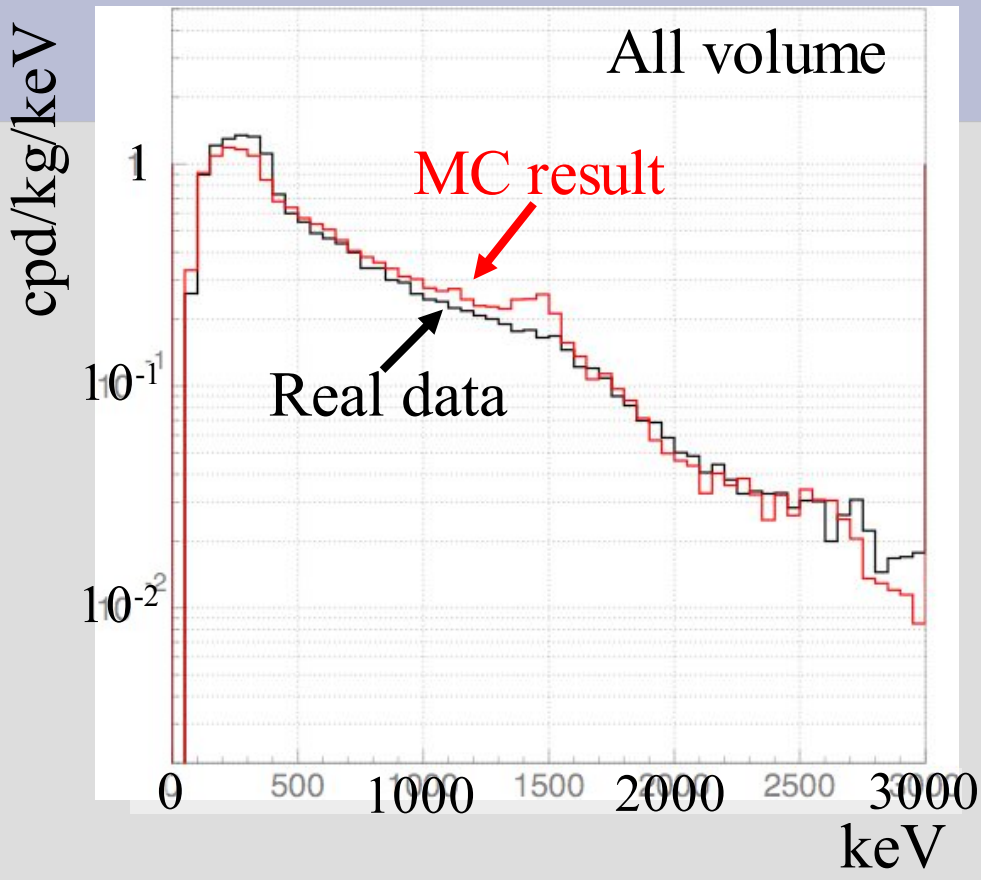
> 10^2 improvement of sensitivity for existing experiments

R&D status with 100kg detector

- 100kg liquid Xe detector
 - Liquid Xe in ~30cm cube (30liter)
 - High purity copper chamber
- Targets of 100kg detector
 - ★ Confirmation of 800kg detector performance estimation
 - Reconstruct **vertex and energy** of events by fitter
 - Demonstrate **the self shielding power** for γ ray BG
 - Measure **photon yield and its attenuation length**
 - Understand **the environmental BG** inside the shield
 - Measure a content of **radioactive impurities** in Xe



- Compare real data and MC estimation



★ Real data

→ Live time ~ 0.9days

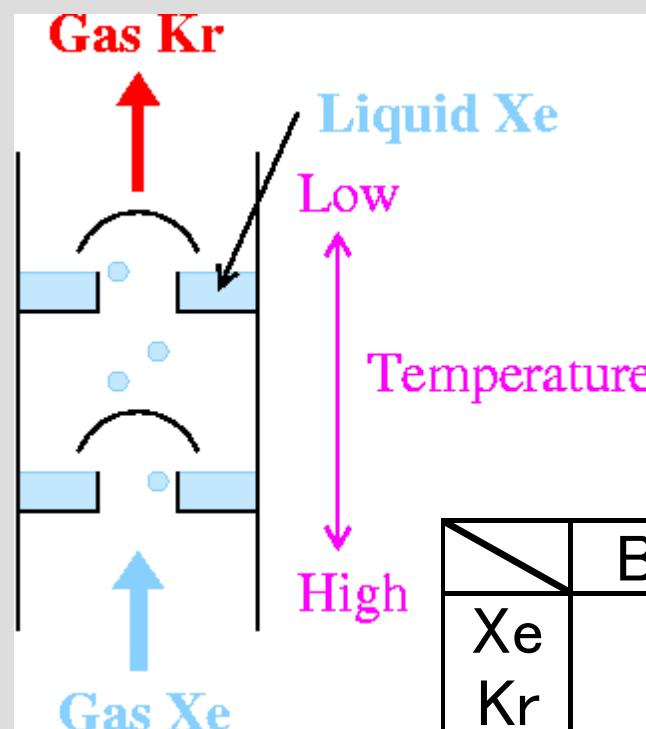
★ MC (γ ray background)

- Outside of the shield
- RI sources in PMTs
- ^{210}Pb in the lead shield

Good agreement!

- Purification of Xe by distillation

- ★ Test using 1.6kg Xe in September 2003
- ★ XMASS succeeds to reduce Kr concentration in Xe from 310[ppb] to < 5[ppb] with one cycle (~1/100)



→ Full process of 100kg Xe next week!

- Radioactive impurity in Xe

Content of radioactive impurity in Xe

	1 st 100kg run	Target
Kr (ppt)	< 2000	0.35
Th-chain (g/g)	$< 8.4 \times 10^{-13}$	2.0×10^{-14}
U-chain (g/g)	6.4×10^{-13}	1.0×10^{-14}

★ Kr reduction

→ ~2 cycle purification by purification tower

★ Th-chain, U-chain

→ Target value of 800kg detector is close at hand

→ Identify the source and

remove it by cleaning up and filtering

END
XMASS Project

Sensitivity necessary for the discovery of DM (SI)

- How can one reach as shown in Nihei's talk?

$$\sigma_{\chi-n}^{\text{SI}} \geq 2 \times 10^{-12} \text{ pb}$$

- Current typical limit with NaI(Tl) – PSA by UK group

$$\frac{dR}{dE_{\text{visible}}} \leq 4 \times 10^{-1} \text{ events/kg/day/keV (@ 4–5 keV)}$$



$$\sigma_{\chi-n}^{\text{SI}} \leq 2 \times 10^{-5} \text{ pb (@ } M_\chi \sim 100 \text{ GeV)}$$

Well experienced experimentalist would not say that

- One has to go down to

$$\frac{dR}{dE_{\text{visible}}} \leq 4 \times 10^{-8} \text{ events/kg/day/keV (@ 4–5 keV)}$$

- with 6 p.e. /keV (NaI(Tl))
5 p.e. /keV (LXe)
- even lower p.e.'s for larger volume detectors

To go further,

- Huge mass conventional detectors never help even with PSA.
- Bolometr background rate is too high.
- Annual modulation effect is too small.
- Innovation needed
 - Direction sensitive (and, hopefully, SD-sensitive) detector
 - Self-shielding ultra pure material(e.g. LXe)